

<http://tinyurl.org/ift3355>

IFT 3355: INFOGRAPHIE REVUE

FIN

LES COMPOSITIONS SIMPLES

$$\text{Tr}(x_1, y_1, z_1) \cdot \text{Tr}(x_2, y_2, z_2) = ?$$

$$\text{Tr}(x_2, y_2, z_2) \cdot \text{Tr}(x_1, y_1, z_1) ? \text{Tr}(x_2, y_2, z_2) \cdot \text{Tr}(x_1, y_1, z_1)$$

$$\text{Scale}(a, b, c) \cdot \text{Scale}(d, e, f) = ?$$

$$\text{Scale}(a, b, c) \cdot \text{Scale}(d, e, f) ? \text{Scale}(d, e, f) \cdot \text{Scale}(a, b, c)$$

$$\text{Rot}(\alpha, 0, 0, 1) \cdot \text{Rot}(\beta, 0, 0, 1) = ?$$

$$\text{Rot}(\alpha, 0, 0, 1) \cdot \text{Rot}(\beta, 0, 0, 1) ? \text{Rot}(\beta, 0, 0, 1) \cdot \text{Rot}(\alpha, 0, 0, 1)$$

LES COMPOSITIONS SIMPLES

$$\text{Tr}(x_1, y_1, z_1) \cdot \text{Tr}(x_2, y_2, z_2) = \text{Tr}(x_1 + x_2, y_1 + y_2, z_1 + z_2)$$

$$\text{Tr}(x_2, y_2, z_2) \cdot \text{Tr}(x_1, y_1, z_1) = \text{Tr}(x_2, y_2, z_2) \cdot \text{Tr}(x_1, y_1, z_1)$$

$$\text{Scale}(a, b, c) \cdot \text{Scale}(d, e, f) = \text{Scale}(ad, be, cf)$$

$$\text{Scale}(a, b, c) \cdot \text{Scale}(d, e, f) = \text{Scale}(d, e, f) \cdot \text{Scale}(a, b, c)$$

$$\text{Rot}(\alpha, 0, 0, 1) \cdot \text{Rot}(\beta, 0, 0, 1) = \text{Rot}(\alpha + \beta, 0, 0, 1)$$

$$\text{Rot}(\alpha, 0, 0, 1) \cdot \text{Rot}(\beta, 0, 0, 1) = \text{Rot}(\beta, 0, 0, 1) \cdot \text{Rot}(\alpha, 0, 0, 1)$$

LES COMPOSITIONS PLUS COMPLEXES

$$\textit{Tr}(x, y, z) \cdot \textit{Scale}(a, b, c) ? \textit{Scale}(a, b, c) \cdot \textit{Tr}(x, y, z)$$

LES COMPOSITIONS PLUS COMPLEXES

$$\begin{aligned} & Tr(x, y, z) \cdot Scale(a, b, c) \neq Scale(a, b, c) \cdot Tr(x, y, z) \\ & Tr(x, y, z) \cdot Scale(a, b, c) = Scale(a, b, c) \cdot Tr\left(\frac{x}{a}, \frac{y}{b}, \frac{z}{c}\right) \end{aligned}$$

LES COMPOSITIONS PLUS COMPLEXES

$$\begin{aligned} Tr(x, y, z) \cdot Scale(a, b, c) &\neq Scale(a, b, c) \cdot Tr(x, y, z) \\ Tr(x, y, z) \cdot Scale(a, b, c) &= Scale(a, b, c) \cdot Tr\left(\frac{x}{a}, \frac{y}{b}, \frac{z}{c}\right) \end{aligned}$$

$$\begin{aligned} Tr(x, y, z) \cdot Rot(\alpha, 0, 0, 1) &\neq Rot(\alpha, 0, 0, 1) \cdot Tr(x, y, z) \\ Rot(\alpha, 0, 0, 1) \cdot Rot(\beta, 0, 1, 0) &? Rot(\beta, 0, 1, 0) \cdot Rot(\alpha, 0, 0, 1) \end{aligned}$$

LES COMPOSITIONS PLUS COMPLEXES

$$\begin{aligned} Tr(x, y, z) \cdot Scale(a, b, c) &\neq Scale(a, b, c) \cdot Tr(x, y, z) \\ Tr(x, y, z) \cdot Scale(a, b, c) &= Scale(a, b, c) \cdot Tr\left(\frac{x}{a}, \frac{y}{b}, \frac{z}{c}\right) \end{aligned}$$

$$\begin{aligned} Tr(x, y, z) \cdot Rot(\alpha, 0, 0, 1) &\neq Rot(\alpha, 0, 0, 1) \cdot Tr(x, y, z) \\ Rot(\alpha, 0, 0, 1) \cdot Rot(\beta, 0, 1, 0) &\neq Rot(\beta, 0, 1, 0) \cdot Rot(\alpha, 0, 0, 1) \end{aligned}$$

LES COMPOSITIONS PLUS COMPLEXES

$$\begin{aligned} Tr(x, y, z) \cdot Scale(a, b, c) &\neq Scale(a, b, c) \cdot Tr(x, y, z) \\ Tr(x, y, z) \cdot Scale(a, b, c) &= Scale(a, b, c) \cdot Tr\left(\frac{x}{a}, \frac{y}{b}, \frac{z}{c}\right) \end{aligned}$$

$$\begin{aligned} Tr(x, y, z) \cdot Rot(\alpha, 0, 0, 1) &\neq Rot(\alpha, 0, 0, 1) \cdot Tr(x, y, z) \\ Rot(\alpha, 0, 0, 1) \cdot Rot(\beta, 0, 1, 0) &\neq Rot(\beta, 0, 1, 0) \cdot Rot(\alpha, 0, 0, 1) \\ Scale(a, a, a) \cdot Rot(\beta, 0, 0, 1) &? Rot(\beta, 0, 0, 1) \cdot Scale(a, a, a) \end{aligned}$$

LES COMPOSITIONS PLUS COMPLEXES

$$\begin{aligned} Tr(x, y, z) \cdot Scale(a, b, c) &\neq Scale(a, b, c) \cdot Tr(x, y, z) \\ Tr(x, y, z) \cdot Scale(a, b, c) &= Scale(a, b, c) \cdot Tr\left(\frac{x}{a}, \frac{y}{b}, \frac{z}{c}\right) \end{aligned}$$

$$\begin{aligned} Tr(x, y, z) \cdot Rot(\alpha, 0, 0, 1) &\neq Rot(\alpha, 0, 0, 1) \cdot Tr(x, y, z) \\ Rot(\alpha, 0, 0, 1) \cdot Rot(\beta, 0, 1, 0) &\neq Rot(\beta, 0, 1, 0) \cdot Rot(\alpha, 0, 0, 1) \\ Scale(a, a, a) \cdot Rot(\beta, 0, 0, 1) &= Rot(\beta, 0, 0, 1) \cdot Scale(a, a, a) \end{aligned}$$

LES COMPOSITIONS PLUS COMPLEXES

$$\begin{aligned} Tr(x, y, z) \cdot Scale(a, b, c) &\neq Scale(a, b, c) \cdot Tr(x, y, z) \\ Tr(x, y, z) \cdot Scale(a, b, c) &= Scale(a, b, c) \cdot Tr\left(\frac{x}{a}, \frac{y}{b}, \frac{z}{c}\right) \end{aligned}$$

$$\begin{aligned} Tr(x, y, z) \cdot Rot(\alpha, 0, 0, 1) &\neq Rot(\alpha, 0, 0, 1) \cdot Tr(x, y, z) \\ Rot(\alpha, 0, 0, 1) \cdot Rot(\beta, 0, 1, 0) &\neq Rot(\beta, 0, 1, 0) \cdot Rot(\alpha, 0, 0, 1) \\ Scale(a, a, a) \cdot Rot(\beta, 0, 0, 1) &= Rot(\beta, 0, 0, 1) \cdot Scale(a, a, a) \end{aligned}$$

$$Scale(a, b, c) \cdot Rot(\beta, 0, 0, 1) \neq Rot(\beta, 0, 0, 1) \cdot Scale(a, b, c)$$

LE CHANGEMENT D'ÉCHELLE NON UNIFORME **APRÈS** LA ROTATION

- OK!

- $M = Rot(\beta, 0, 0, 1) \cdot Scale(a, b, c) =$

$$\begin{pmatrix} \cos(\beta) & -\sin(\beta) & 0 & 0 \\ \sin(\beta) & \cos(\beta) & 0 & 0 \\ 0 & 0 & 1 & 0 \\ 0 & 0 & 0 & 1 \end{pmatrix} \cdot \begin{pmatrix} a & & & \\ & b & & \\ & & c & \\ & & & 1 \end{pmatrix} =$$

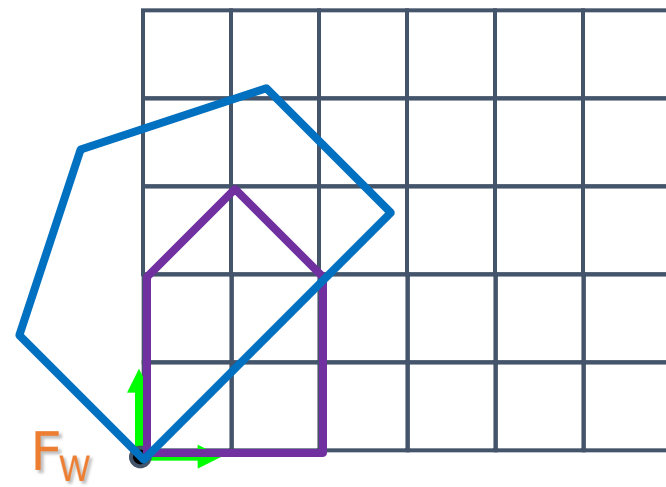
$$\begin{pmatrix} a \cdot \cos(\beta) & -b \cdot \sin(\beta) & 0 & 0 \\ a \cdot \sin(\beta) & b \cdot \cos(\beta) & 0 & 0 \\ 0 & 0 & 1 & 0 \\ 0 & 0 & 0 & 1 \end{pmatrix}$$

LE CHANGEMENT D'ÉCHELLE NON UNIFORME **APRÈS** LA ROTATION

- OK!
- $M = Rot(\beta, 0, 0, 1) \cdot Scale(a, b, c) =$

$$\begin{pmatrix} a \cdot \cos(\beta) & -b \cdot \sin(\beta) & 0 & 0 \\ a \cdot \sin(\beta) & b \cdot \cos(\beta) & 0 & 0 \\ 0 & 0 & 1 & 0 \\ 0 & 0 & 0 & 1 \end{pmatrix}$$

- Les nouveaux vecteurs de la base sont orthogonaux!
- La rotation + le changement d'échelle, comme on s'y attendrait



LE CHANGEMENT D'ÉCHELLE NON UNIFORME **AVANT** LA ROTATION

- Pas quelque chose qu'on s'attend!
- $M = Scale(a, b, c) \cdot Rot(\beta, 0, 0, 1) =$

$$\begin{pmatrix} a & & & \\ & b & & \\ & & c & \\ & & & 1 \end{pmatrix} \cdot \begin{pmatrix} \cos(\beta) & -\sin(\beta) & 0 & 0 \\ \sin(\beta) & \cos(\beta) & 0 & 0 \\ 0 & 0 & 1 & 0 \\ 0 & 0 & 0 & 1 \end{pmatrix} =$$
$$\begin{pmatrix} a \cdot \cos(\beta) & -a \cdot \sin(\beta) & 0 & 0 \\ b \cdot \sin(\beta) & b \cdot \cos(\beta) & 0 & 0 \\ 0 & 0 & 1 & 0 \\ 0 & 0 & 0 & 1 \end{pmatrix}$$

LE CHANGEMENT D'ÉCHELLE NON UNIFORME **AVANT** LA ROTATION

- Pas quelque chose qu'on s'attend!
- $M = Scale(a, b, c) \cdot Rot(\beta, 0, 0, 1) =$

$$\begin{pmatrix} a \cdot \cos(\beta) & -a \cdot \sin(\beta) & 0 & 0 \\ b \cdot \sin(\beta) & b \cdot \cos(\beta) & 0 & 0 \\ 0 & 0 & 1 & 0 \\ 0 & 0 & 0 & 1 \end{pmatrix}$$

- Les vecteurs de la base ne sont pas orthogonaux!

LES TRANSFORMATIONS INVERSES

$$Tr(x, y, z)^{-1} = ?$$

$$Rot(\alpha, 0, 0, 1)^{-1} = ?$$

$$Scale(a, b, c)^{-1} = ?$$

LES TRANSFORMATIONS INVERSES

$$\text{Tr}(x, y, z)^{-1} = \text{Tr}(-x, -y, -z)$$

$$\text{Rot}(\alpha, 0, 0, 1)^{-1} = \text{Rot}(-\alpha, 0, 0, 1) = \text{Rot}(\alpha, 0, 0, 1)^T \text{ (orthogonal!)}$$

$$\text{Scale}(a, b, c)^{-1} = \text{Scale}\left(\frac{1}{a}, \frac{1}{b}, \frac{1}{c}\right)$$

LES TRANSFORMATIONS INVERSES

$$M = Tr(1,2,3) \cdot Rot(45,0,0,1) \cdot Scale(2,2,2)$$

$$M^{-1} = ?$$

LES TRANSFORMATIONS INVERSES

$$M = Tr(1,2,3) \cdot Rot(45,0,0,1) \cdot Scale(2,2,2)$$

$$M^{-1} = (Scale(2,2,2))^{-1} \cdot (Rot(45,0,0,1))^{-1} \cdot (Tr(1,2,3))^{-1}$$

$$M^{-1} = Scale(0.5,0.5,0.5) \cdot Rot(-45,0,0,1) \cdot Tr(-1, -2, -3)$$

LES MATHS

LES PRODUITS

- Scalaire $\begin{bmatrix} x \\ y \\ z \end{bmatrix} \cdot \begin{bmatrix} a \\ b \\ c \end{bmatrix} = x * a + y * b + z * c$

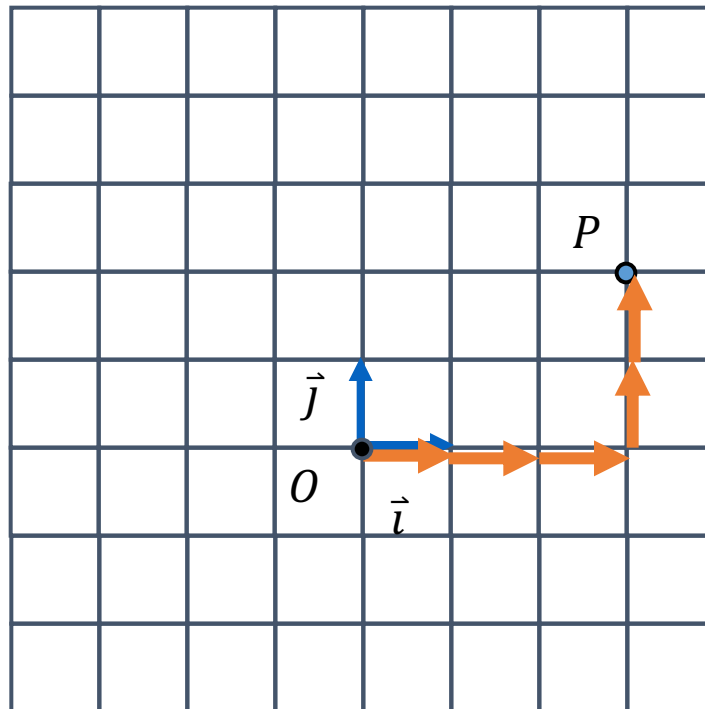
- Utilisé pour?
- Vectoriel

$$\begin{bmatrix} u_1 \\ u_2 \\ u_3 \end{bmatrix} \times \begin{bmatrix} v_1 \\ v_2 \\ v_3 \end{bmatrix} = \begin{bmatrix} u_2 v_3 - u_3 v_2 \\ u_3 v_1 - u_1 v_3 \\ u_1 v_2 - u_2 v_1 \end{bmatrix}$$

- Utilisé pour?

LES SYSTÈMES DE COORDONNÉES

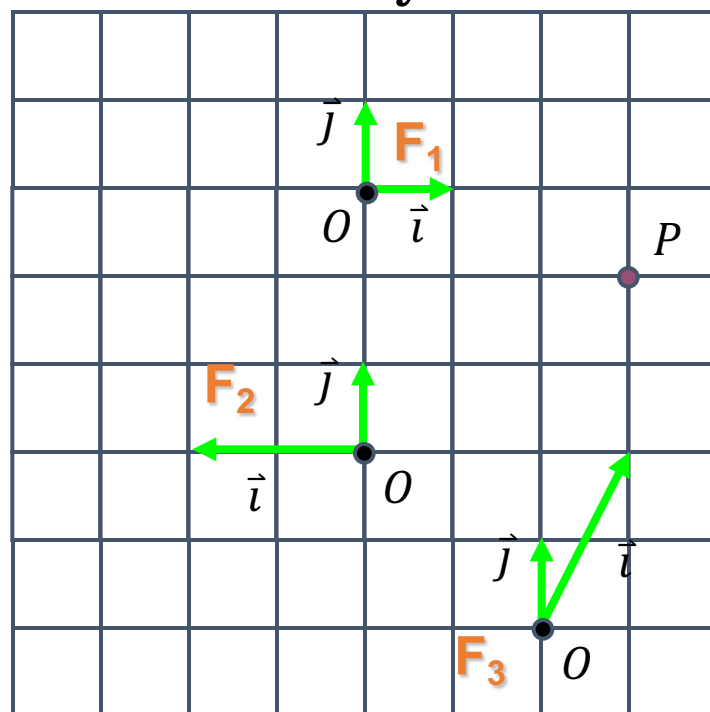
Un système de coordonnées = origine + vecteurs de base



$$P = O + x\vec{i} + y\vec{j}$$

LES MATHS

- Travailler avec des systèmes d'axe



$$P = O + x\vec{i} + y\vec{j}$$

$$\mathbf{F}_1 \quad \mathbf{P}(3,-1)$$

$$\mathbf{F}_2 \quad \mathbf{P}(-1.5,2)$$

$$\mathbf{F}_3 \quad \mathbf{P}(1,2)$$

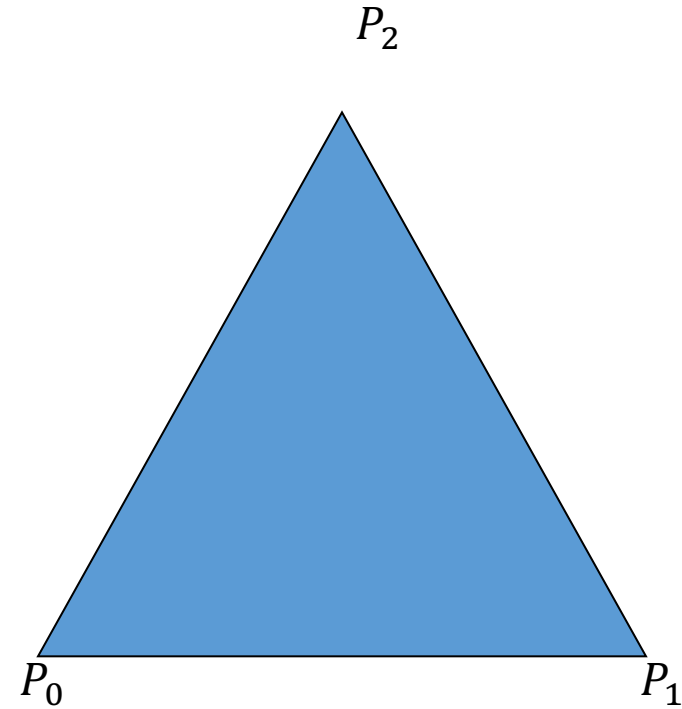
LE TRIANGLE

- La normale

$$n = \frac{(P_1 - P_0) \times (P_2 - P_0)}{\|(P_1 - P_0) \times (P_2 - P_0)\|}$$

- L'aire

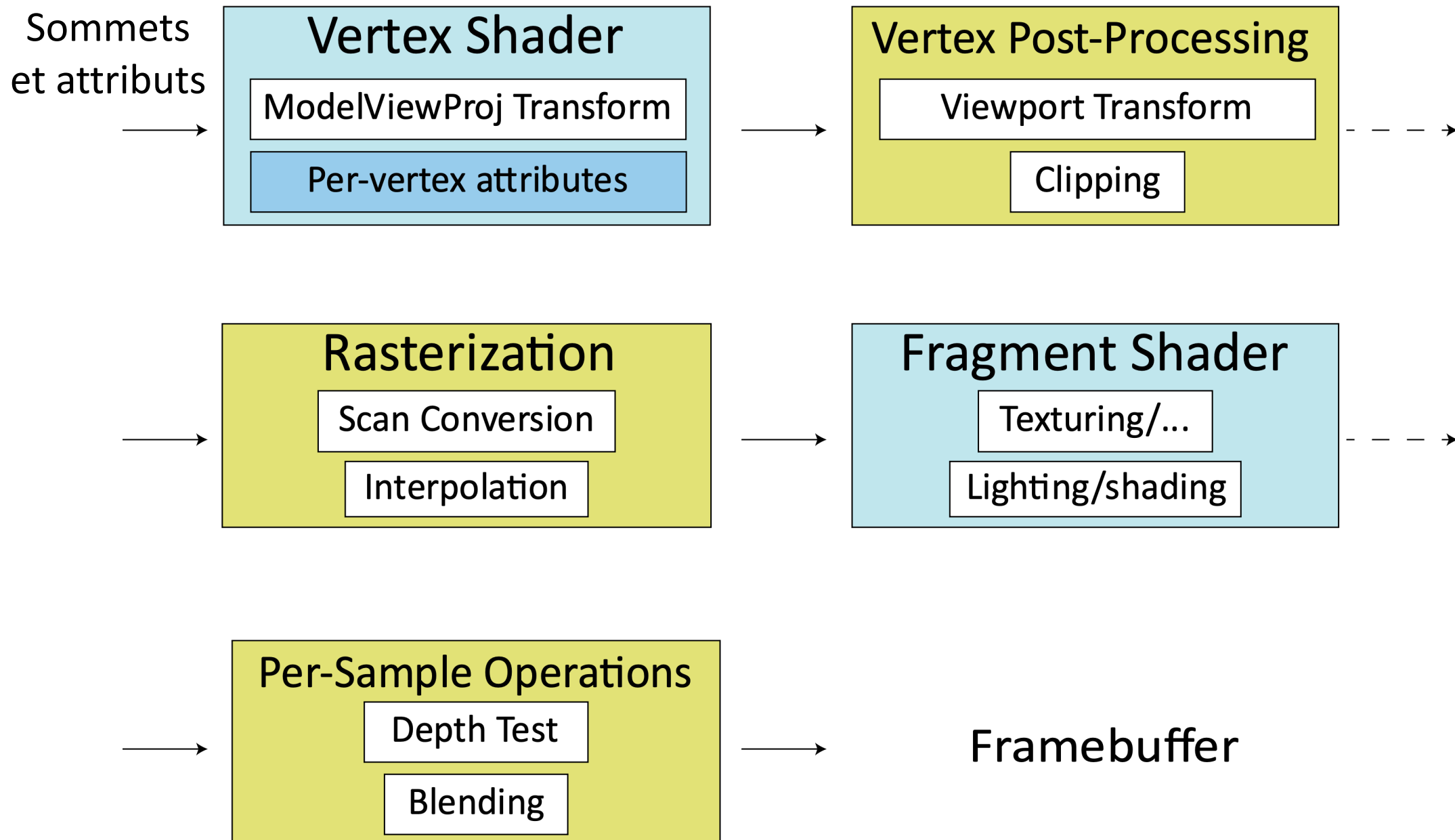
$$A = \frac{1}{2} \|\overrightarrow{P_0P_1} \times \overrightarrow{P_0P_2}\|$$

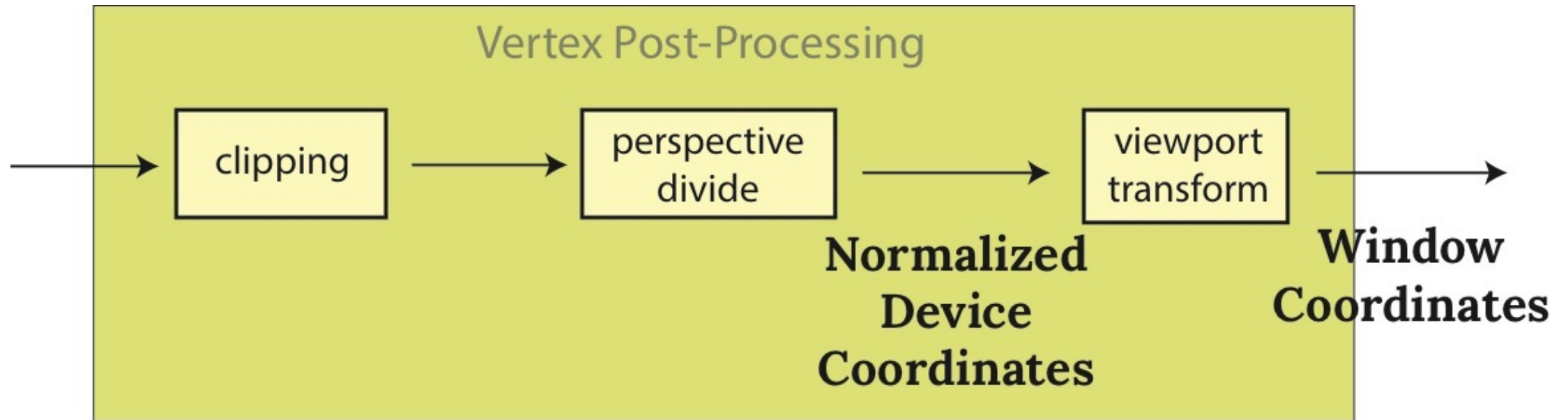
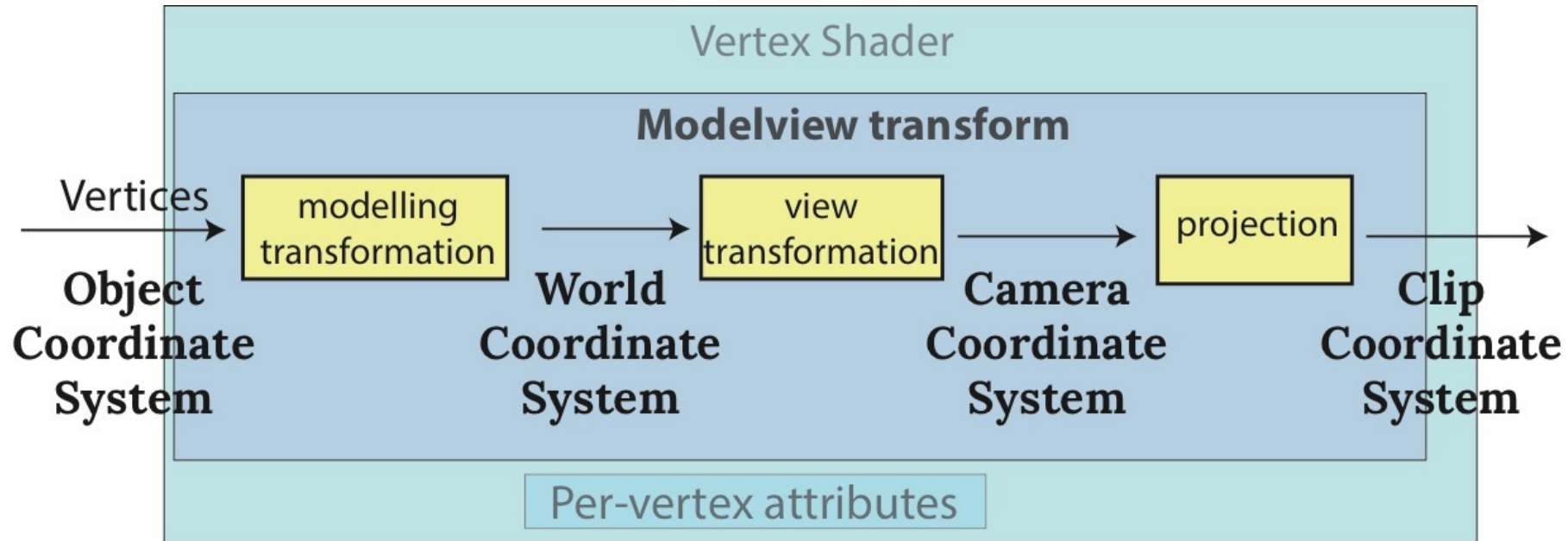


LE PLAN

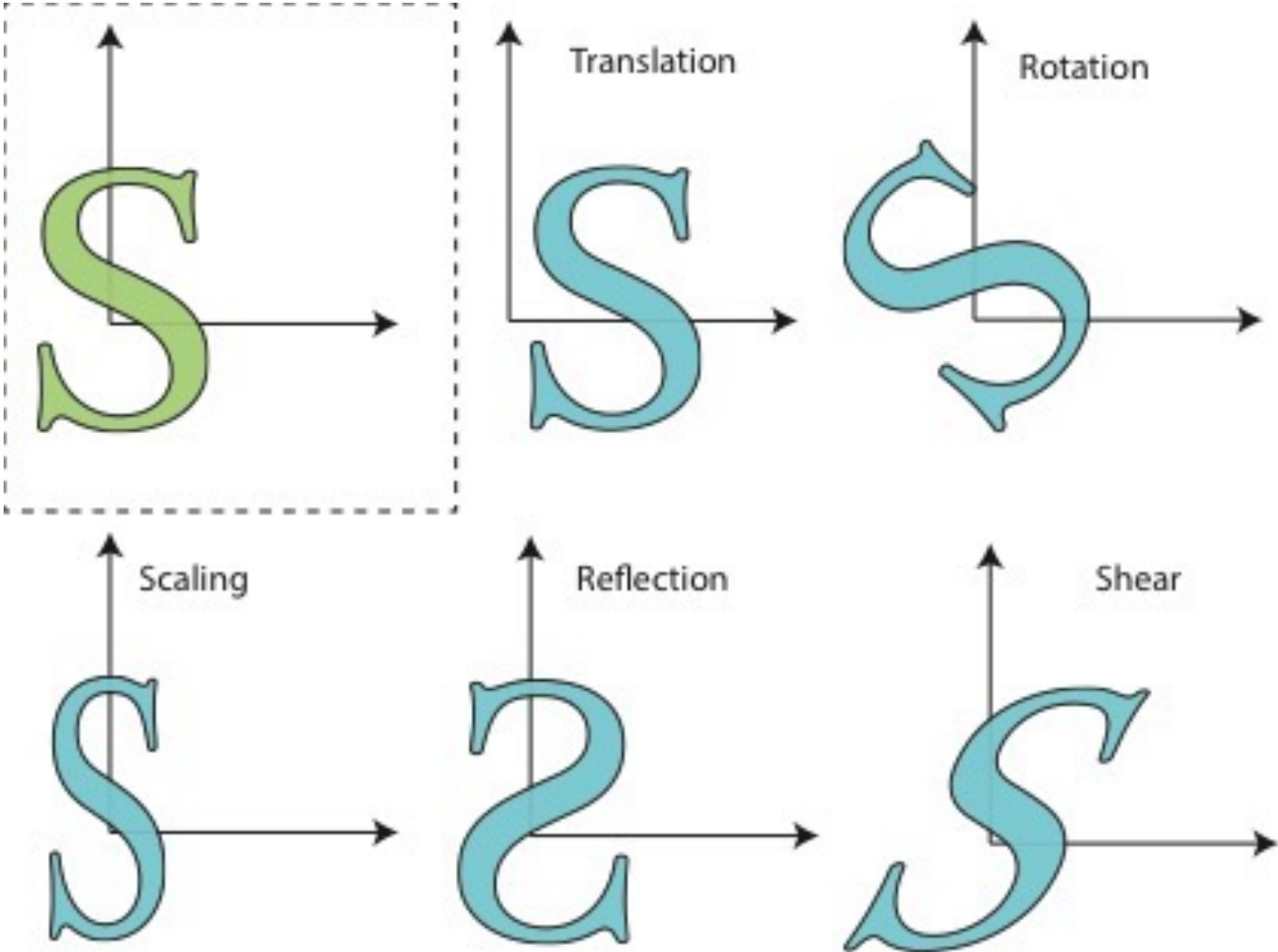
- L'équation implicite: $Ax + By + Cz + D = 0$
 - Normaliser (une option): $A^2 + B^2 + C^2 = 1$
 - (A, B, C) - normale au plan
- Comment trouver l'équation si on a trois points?

SE SOUVENIR DU PIPELINE





LES TRANSFORMATIONS AFFINES



LES COORDONNÉES HOMOGÈNES

Les coordonnées homogènes $\begin{bmatrix} x \\ y \\ z \\ w \end{bmatrix} \rightarrow \begin{bmatrix} x/w \\ y/w \\ z/w \end{bmatrix}$ Les coordonnées euclidiennes

Pas 1-à-1!

LA MATRICE AUGMENTÉE

La transformation linéaire

$$\begin{bmatrix} m_{11} & m_{12} & m_{13} & b_x \\ m_{21} & m_{22} & m_{23} & b_y \\ m_{31} & m_{32} & m_{33} & b_z \\ 0 & 0 & 0 & 1 \end{bmatrix}$$

Translation



LES TRANSFORMATIONS

Que font ces transformations affines 2D?

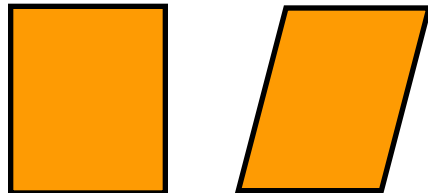
$$\begin{bmatrix} 1 & 0 & 0 \\ 0 & 1 & 0 \\ 0 & 0 & -1 \end{bmatrix}$$

$$\begin{bmatrix} 0 & 1 & 0 \\ 1 & 0 & 0 \\ 0 & 0 & 0.5 \end{bmatrix}$$

LES TRANSFORMATIONS

- Comment refléter un objet par une ligne connue (2D)?

- Quelle transformation fait ça?



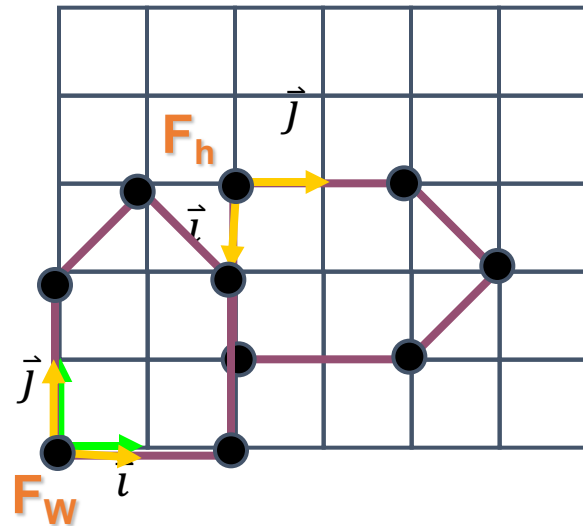
PENSER

- Que conserve chaque transformation?

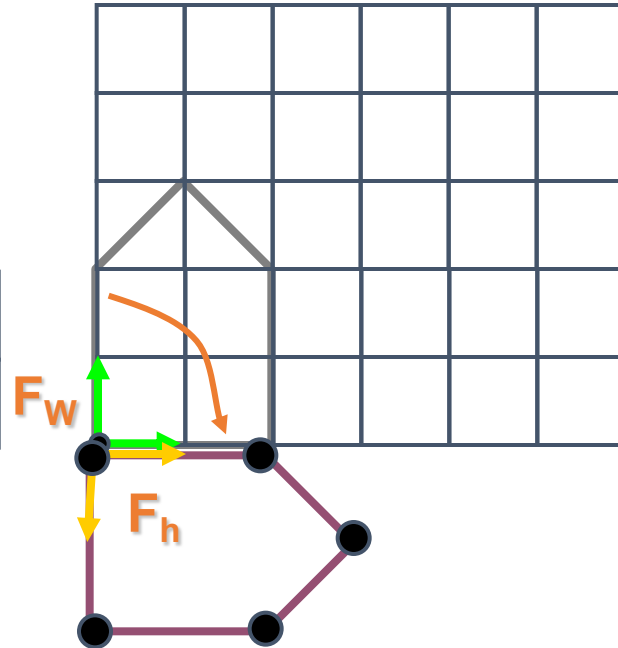
	lignes	lignes parallèles	distance	angles	normales	convexité
changement d'échelle						
rotation						
translation						
cisaillement						

LES TRANSFORMATIONS COMPOSÉES

Si on veut

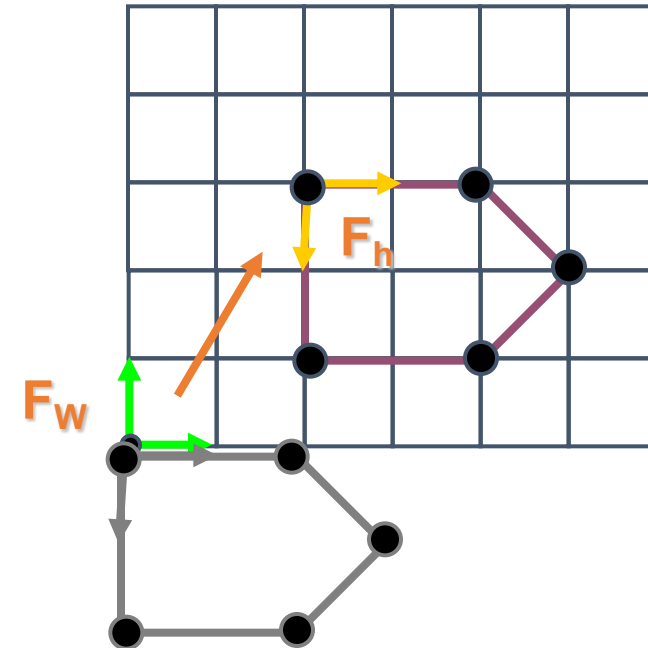


Rotate(z,-90)



$$P_A = Rot(z, -90)P_h$$

Translate(2,3,0)



$$P_W = Trans(2,3,0)P_A$$

$$P_W = Trans(2,3,0)Rot(z, -90)P_h$$

LES TRANSFORMATIONS COMPOSÉES

$$P_W = Trans(2,3,0)Rot(z, -90)P_h$$

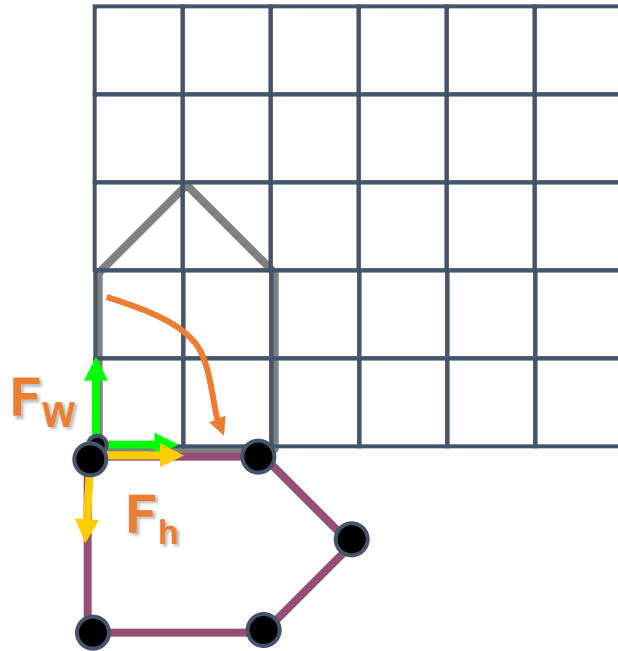
- Lire de droite à gauche dans le système de coordonnées fixé
 - Déplacer l'objet
- Lire de gauche à droite: toutes les opérations sont dans le système de coordonnées local
 - Changer le système des coordonnées

$$M_{MV} = Trans(2,3,0) \cdot M_{MV}$$

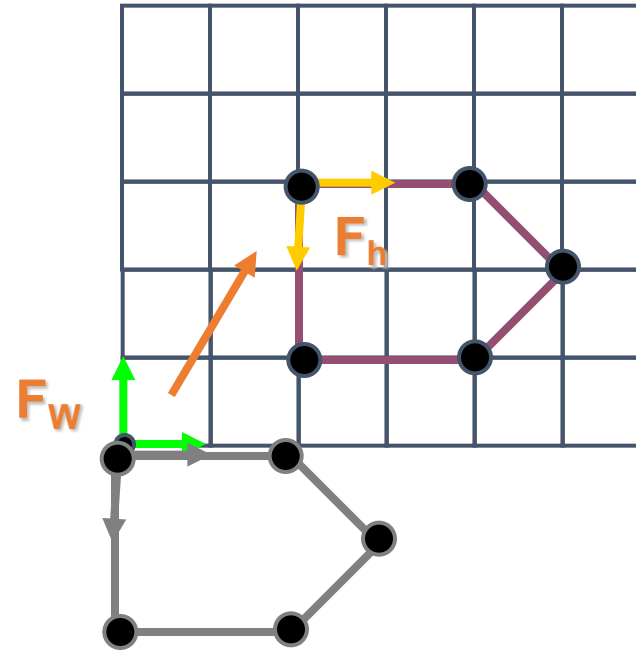
$$M_{MV} = Rot(z, -90)M_{MV}$$

LES TRANSFORMATIONS COMPOSÉES

Rotate(z,-90)



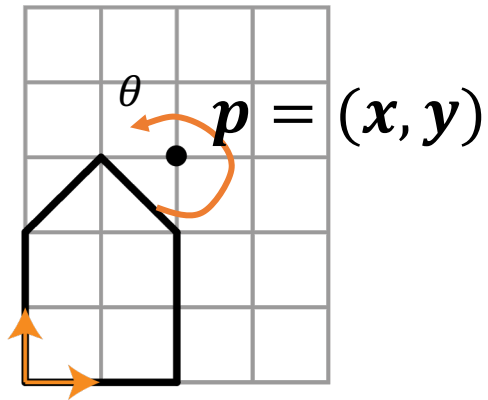
Translate(-3,2,0) dans le système de coordonnées local



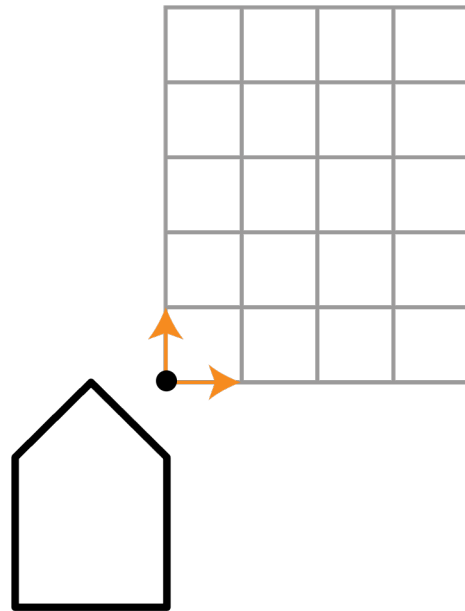
$$P_w = Rot(z, -90)Trans(-3, 2, 0)P_h$$

LA ROTATION AUTOUR D'UN POINT

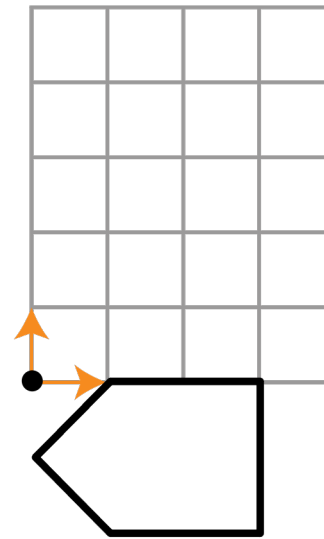
Tourner
autour p de θ :



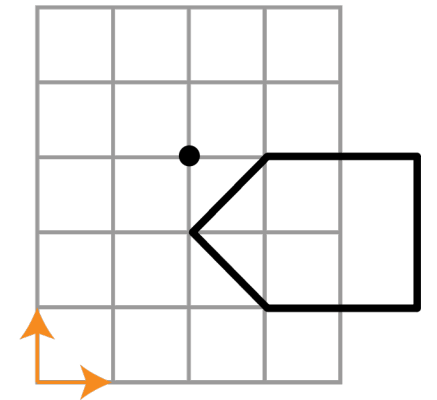
Déplacer p
à l'origine



Tourner
autour l'origine



Déplacer p
en arrière

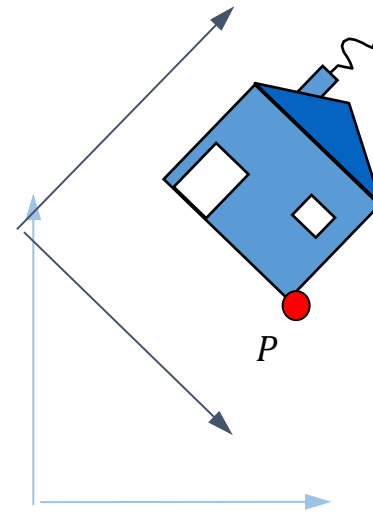
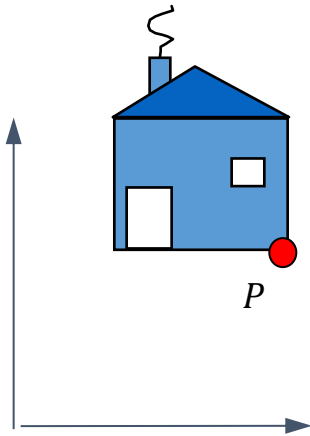


$$\mathbf{T}(x, y, z) \mathbf{R}(z, \theta) \mathbf{T}(-x, -y, -z)$$

TRANSFORMATION DE COORDONNÉES

Les colonnes sont les nouveaux vecteurs de base (et la nouvelle origine)!

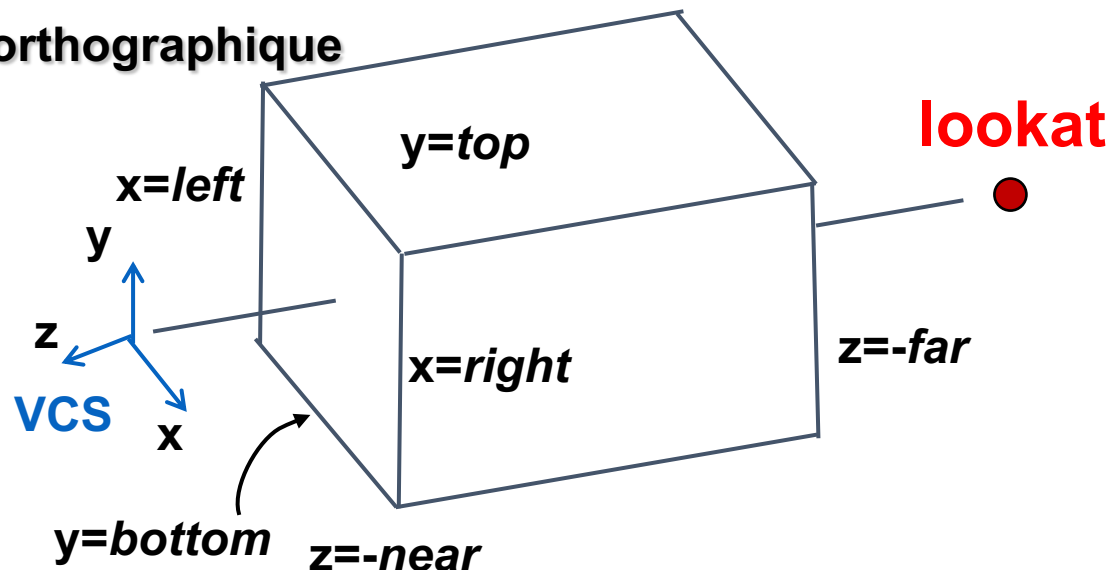
$$\begin{pmatrix} \begin{array}{c} \cos \theta \\ \sin \theta \\ 0 \end{array} & \begin{array}{c} -\sin \theta \\ \cos \theta \\ 0 \end{array} & \begin{array}{c} p_x \cdot (1 - \cos \theta) + p_y \cdot \sin \theta \\ p_y \cdot (1 - \cos \theta) + p_x \cdot \sin \theta \\ 1 \end{array} \end{pmatrix} \begin{pmatrix} v_x \\ v_y \\ 1 \end{pmatrix}$$



LE VOLUME DE VUE PROJECTION ORTHOGRAPHIQUE

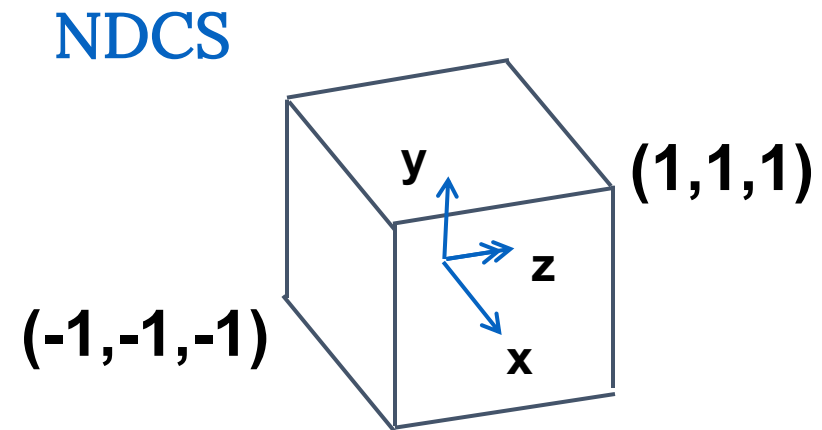
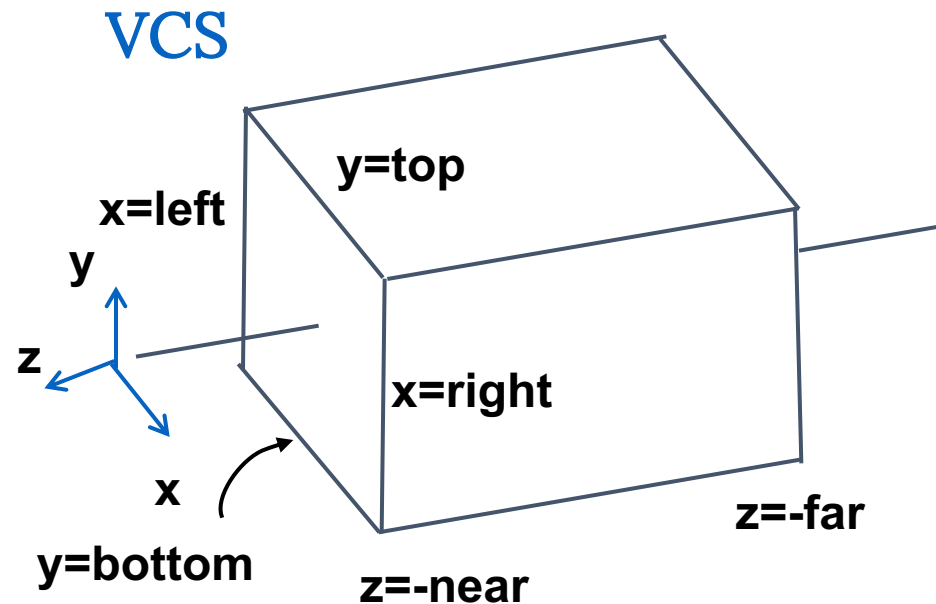
- Est une projection parallèle dans la direction perpendiculaire au plan de projection
- Il spécifie le champ de vue, utilisé pour le *clipping*
- Il limite le domaine de z stocké pour le test de profondeur

le volume de vue orthographique



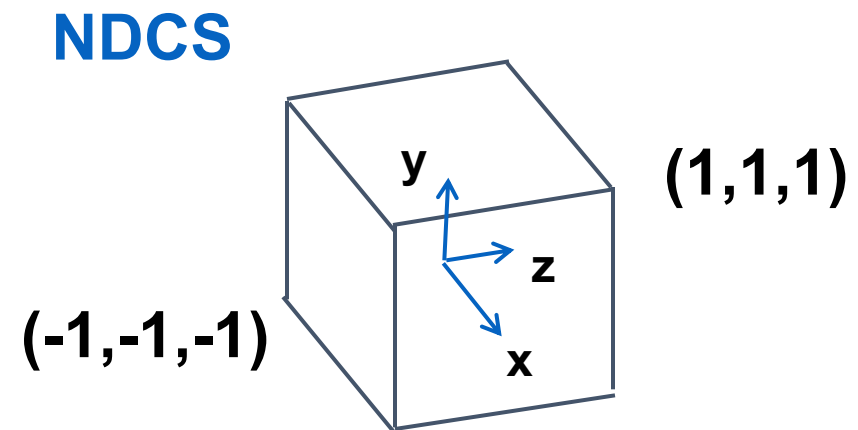
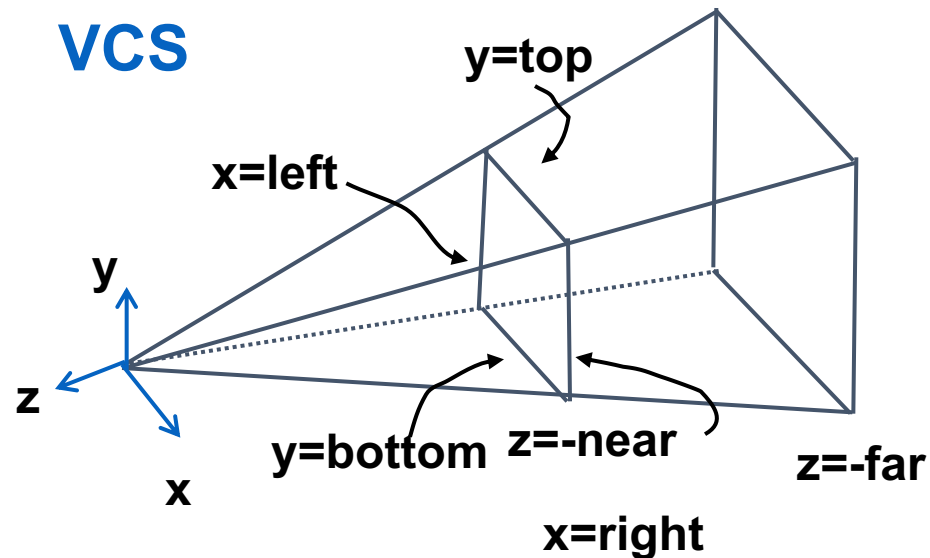
L'AXE Z

- Un flip de l'axe z change le *handedness* du système des coordonnées
 - RHS (règle de la main droite) avant la projection
 - les coordonnées de la vue/caméra, du monde
 - LHS (règle de la main gauche) après
 - clip, les coordonnées de l'appareil normalisées



LA MATRICE DE LA PROJECTION PERSPECTIVE OPENGL

Mapper (faire correspondre) la pyramide tronquée à un cube NDCS. Après, la coordonnée z sera ignorée. On doit changer l'échelle/déplacer/faire cisaillement → une transformation générique



LES LIGNES ET LES COURBES

- Les fonction explicites: les coordonnées sont des fonctions des autres

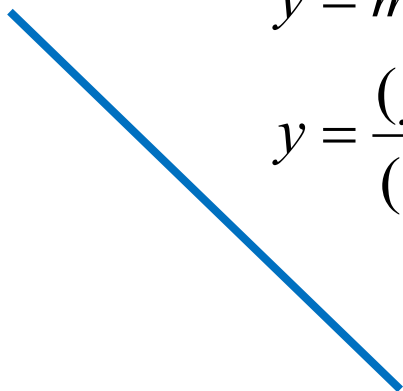
$$y = f(x)$$

$$z = f(x, y)$$

Line

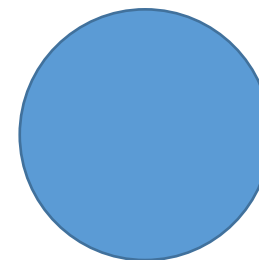
$$y = mx + b$$

$$y = \frac{(y_2 - y_1)}{(x_2 - x_1)}(x - x_1) + y_1$$



Circle

$$y = \pm\sqrt{r^2 - x^2}$$



LES LIGNES ET LES COURBES

Les fonctions paramétriques: toutes les coordonnées sont définies en fonction des valeurs de paramètres

$$(x, y) = (f_1(t), f_2(t))$$

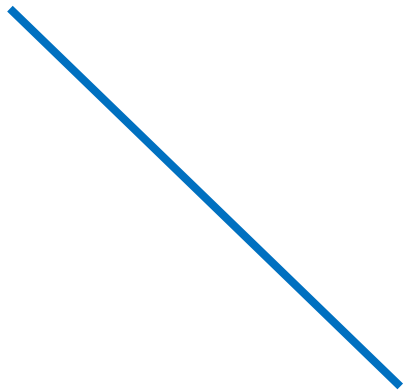
$$(x, y, z) = (f_1(u, v), f_2(u, v), f_3(u, v))$$

Une ligne

$$x(t) = x_1 + t(x_2 - x_1)$$

$$y(t) = y_1 + t(y_2 - y_1)$$

$$t \in [0, 1]$$

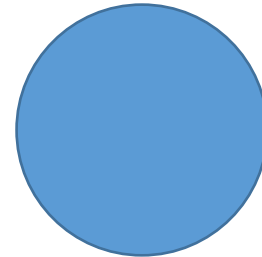


Un Cercle

$$x(\theta) = r \cos(\theta)$$

$$y(\theta) = r \sin(\theta)$$

$$\theta \in [0, 2\pi]$$



LES LIGNES ET LES COURBES

- Les fonctions implicites: l'objet est défini par les racines de la fonction

$$\{(x, y) : F(x, y) = 0\}$$

$$\{(x, y, z) : F(x, y, z) = 0\}$$

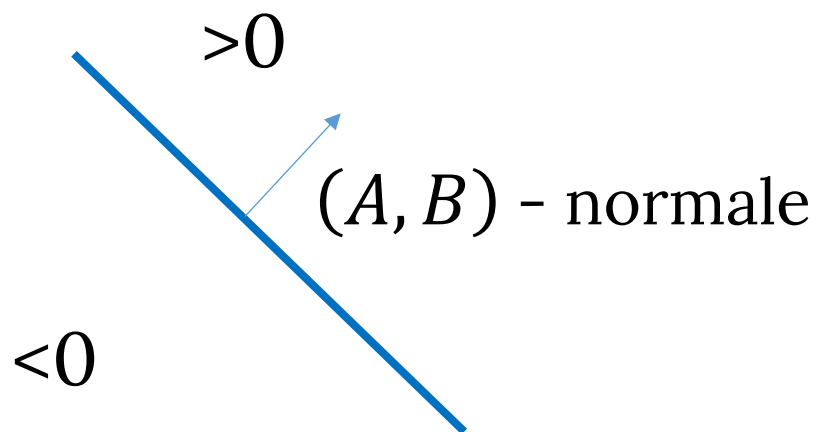
- Diviser l'espace

$$\{(x, y) : F(x, y) > 0\}, \{(x, y) : F(x, y) = 0\}, \{(x, y) : F(x, y) < 0\}$$

LES FONCTIONS IMPLICITES

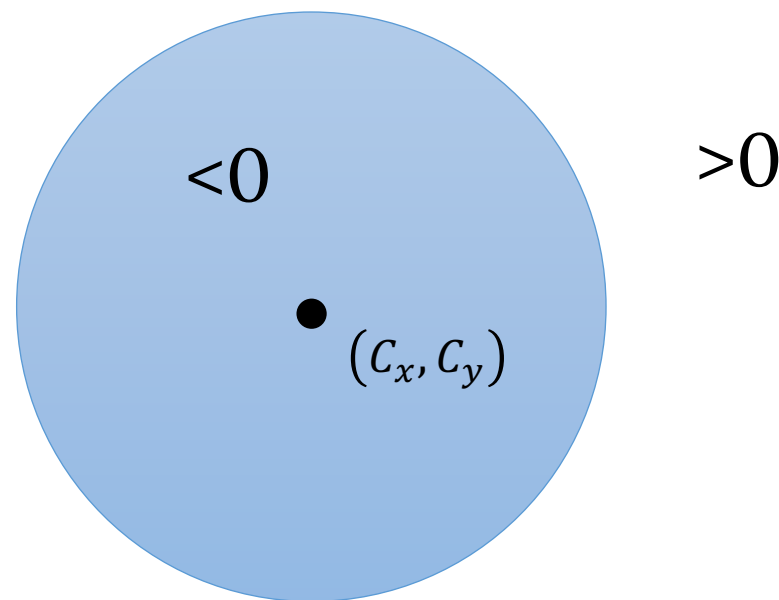
Une ligne

$$Ax + By + C = 0$$



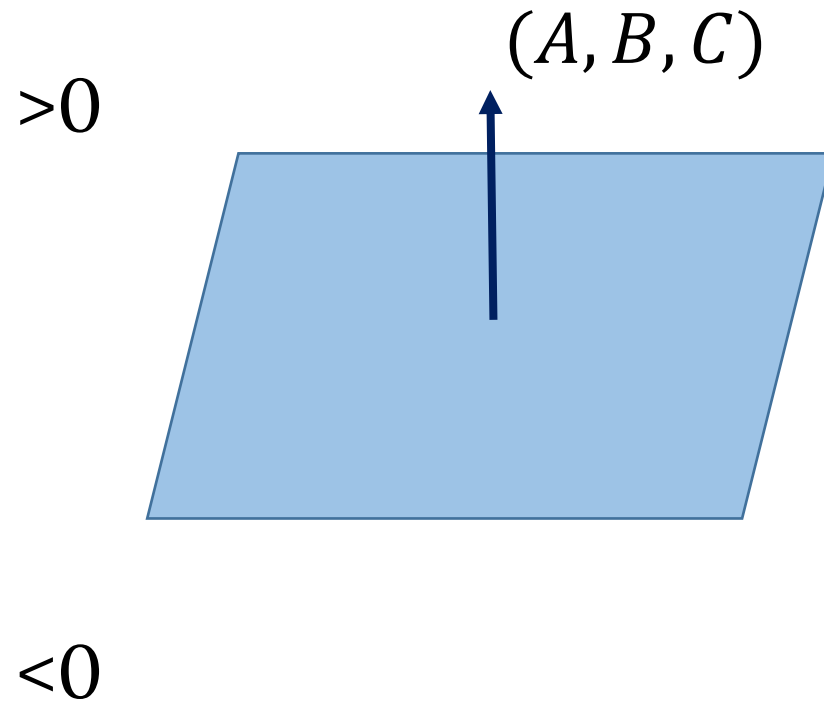
Un cercle

$$(x - C_x)^2 + (y - C_y)^2 - r^2 = 0$$



LE PLAN - IMPLICITE

$$Ax + By + Cz + D = 0$$

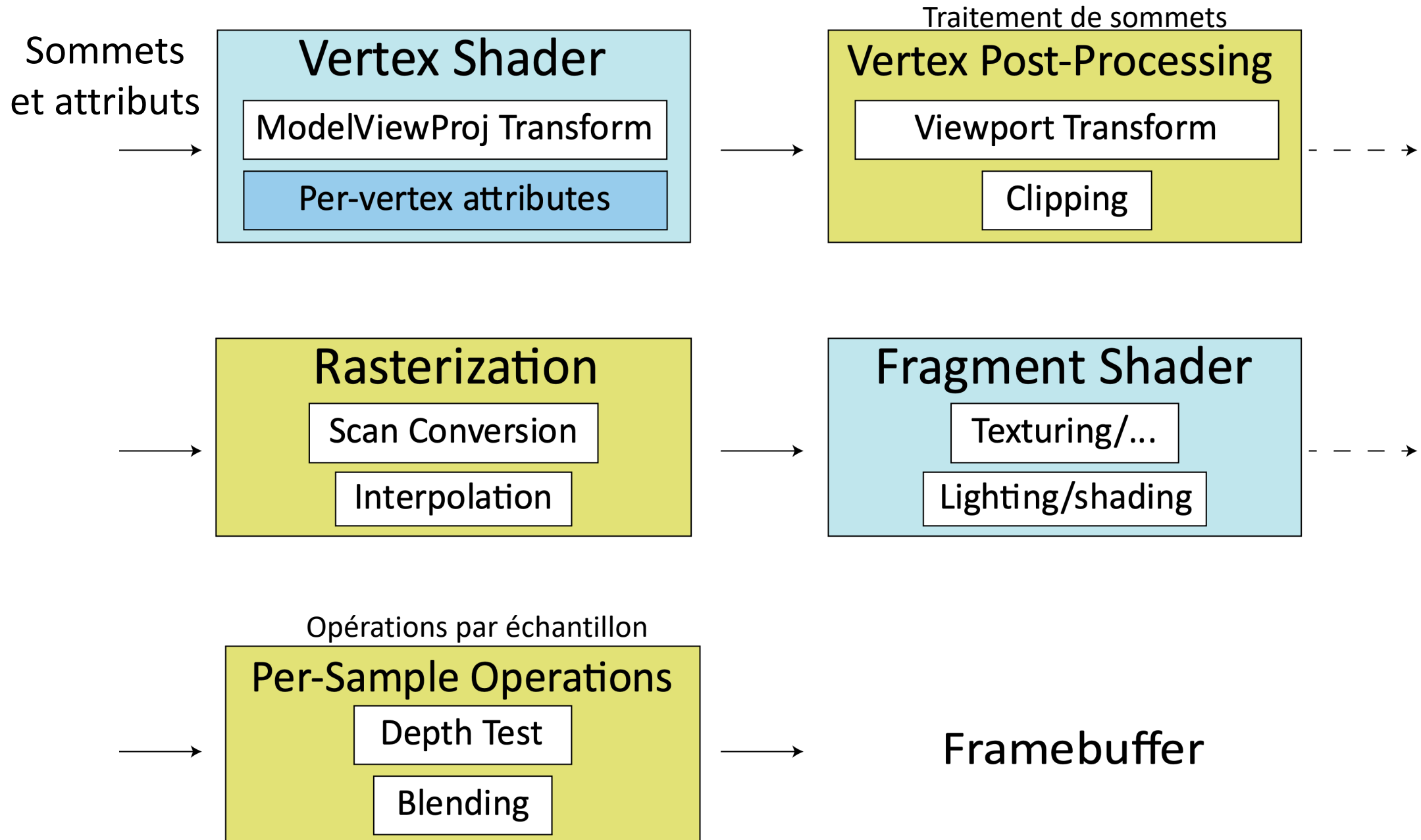


UNE FONCTION IMPLICITE ARBITRAIRE

$$F(x, y, z) = 0$$

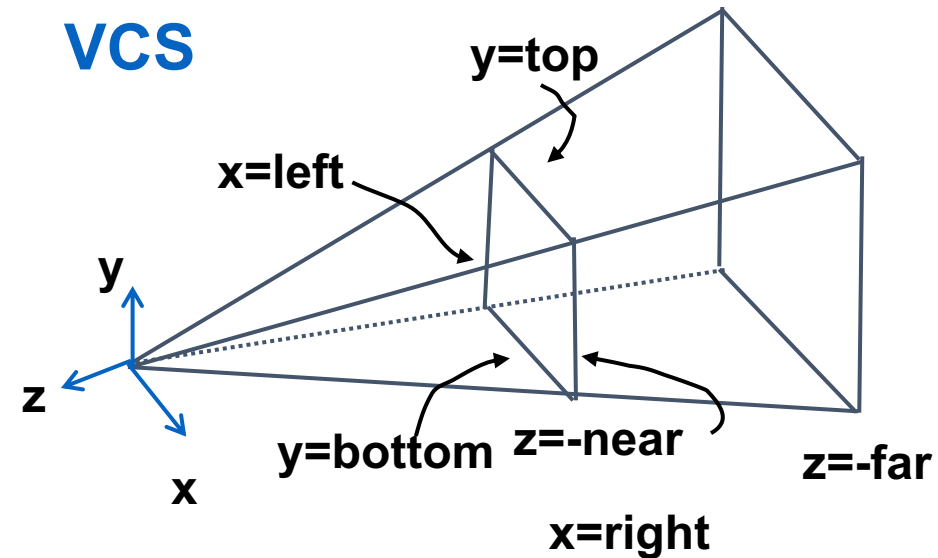
$$n(x, y, z) = \nabla F(x, y, z) = \begin{pmatrix} \partial F(x, y, z) / \partial x \\ \partial F(x, y, z) / \partial y \\ \partial F(x, y, z) / \partial z \end{pmatrix}$$

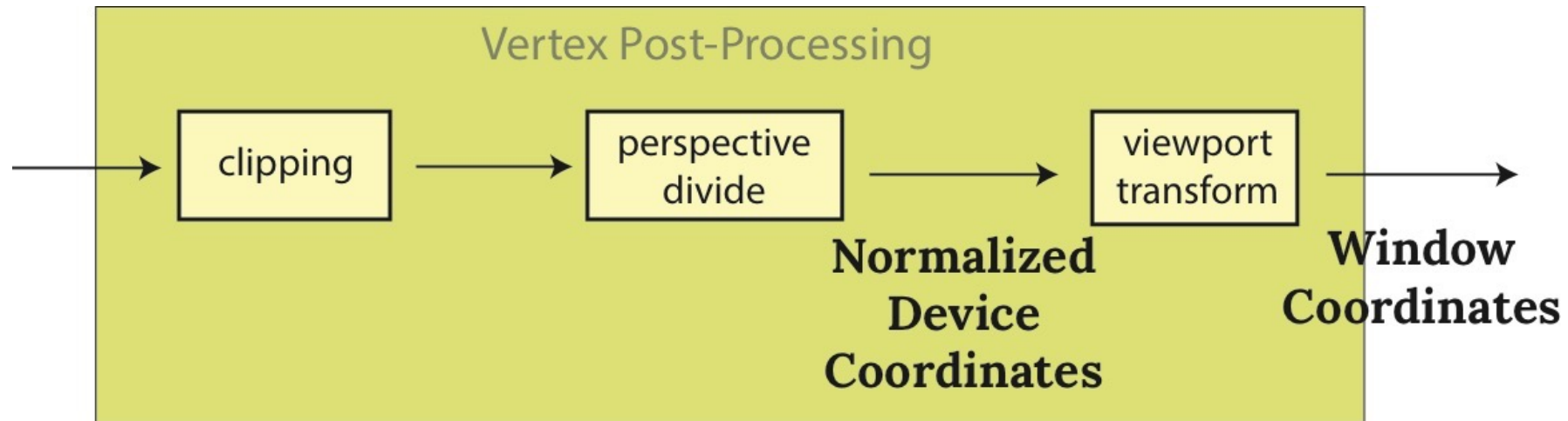
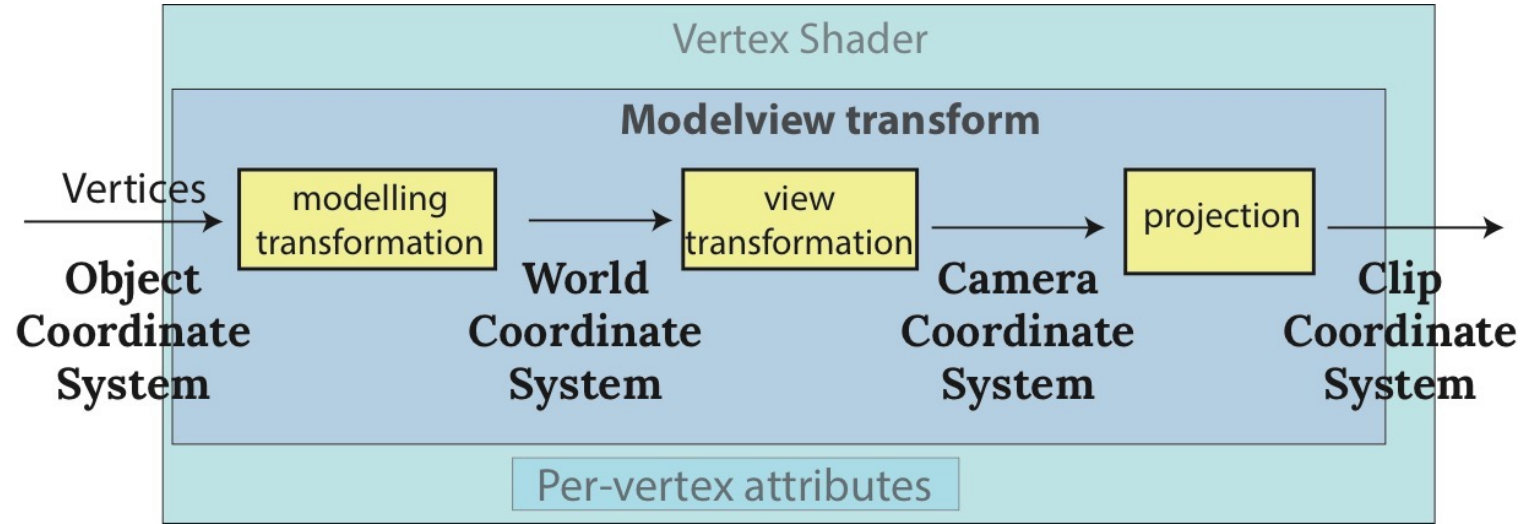
PIPELINE: PLUS DE DÉTAILS



CLIPPING

- Il faut découper tout ce qui est hors du volume de vue
- Hors du plan gauche/droit, supérieur/inférieur
- Et plus important, avant/arrière:





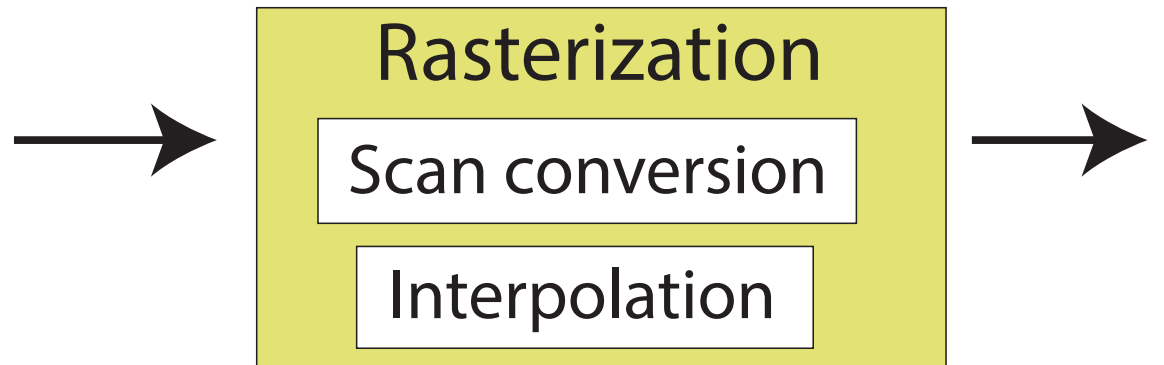
LA MATRICE DE LA FENÊTRE (*VIEWPORT*)

- Qu'est-ce qu'elle fait?

$$\begin{bmatrix} x_w \\ y_w \\ z_w \\ 1 \end{bmatrix} = \begin{bmatrix} \frac{W}{2} & 0 & 0 & \frac{W-1}{2} \\ 0 & \frac{H}{2} & 0 & \frac{H-1}{2} \\ 0 & 0 & \frac{1}{2} & \frac{1}{2} \\ 0 & 0 & 0 & 1 \end{bmatrix} \begin{bmatrix} x_n \\ y_n \\ z_n \\ 1 \end{bmatrix}$$

RASTERIZATION

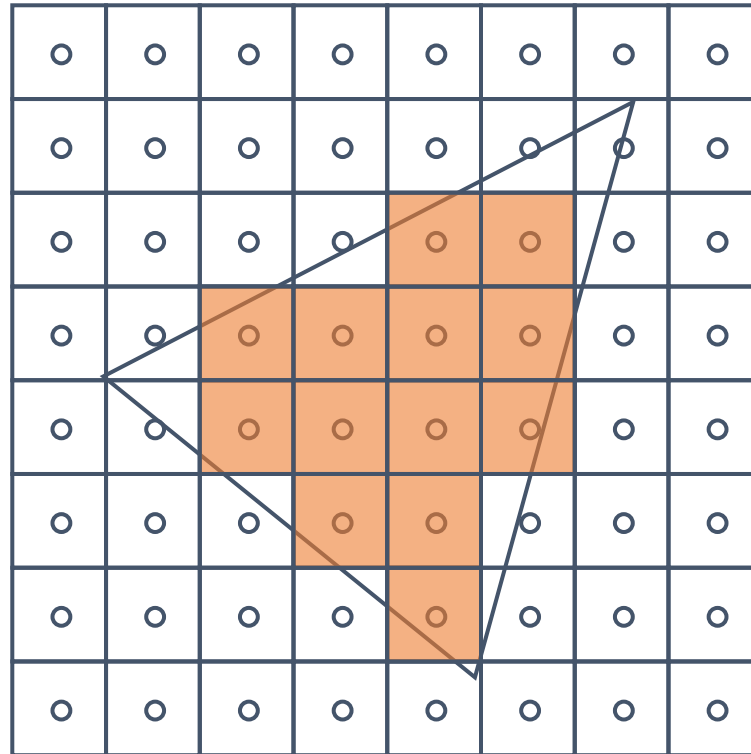
- C'est une partie du pipeline fixe
- Les données en entrée: tous les polygone clippés
- Les données en sortie: les fragments (avec les **varying** variables interpolées)

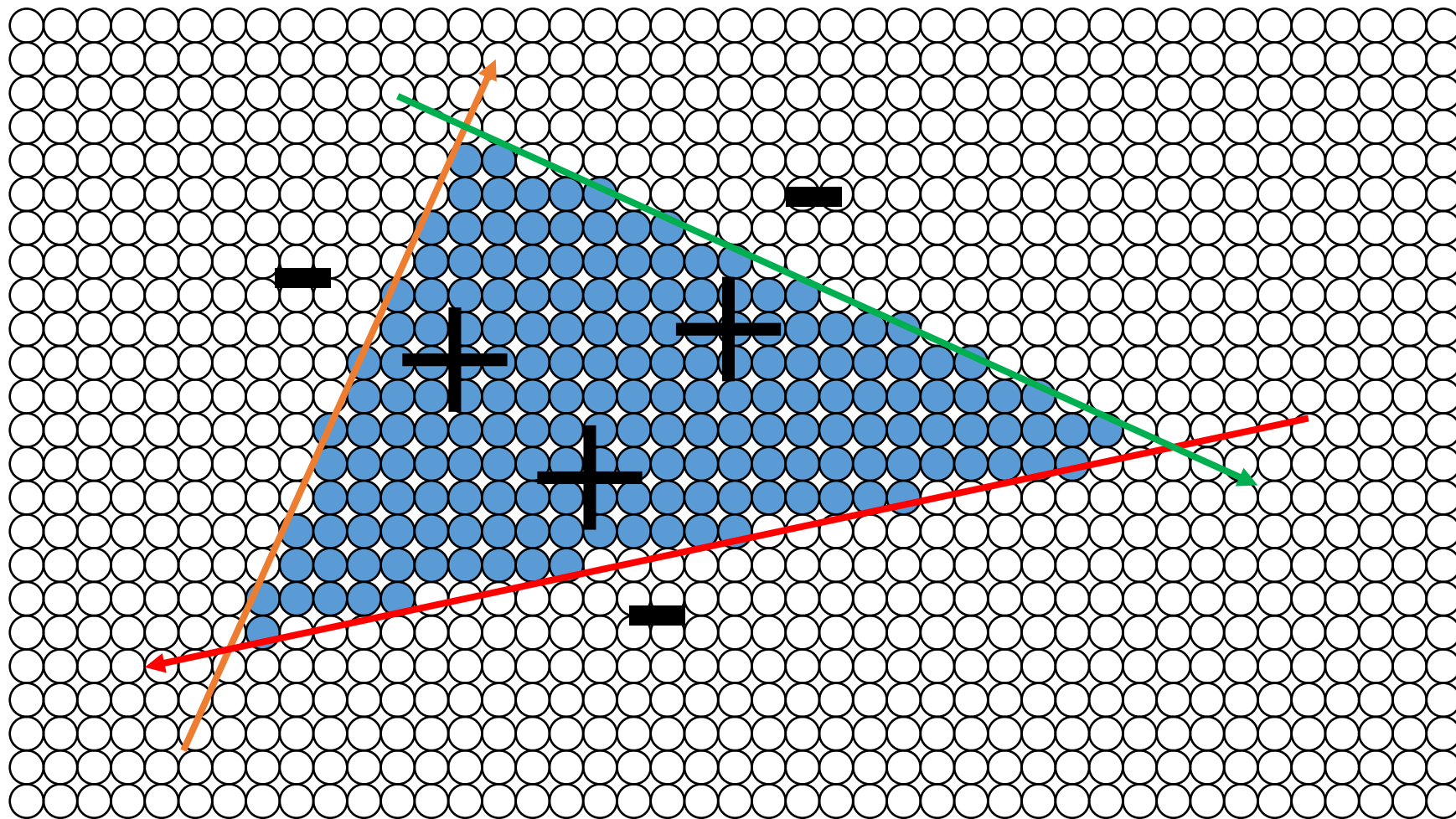


COMMENT VÉRIFIER SI UN PIXEL EST À L'INTÉRIEUR?

Un point est à l'intérieur \Leftrightarrow

$$A_i x + B_i y + C > 0, i = 1, \dots, 3$$





SCANLINE: CODE

```
findBoundingBox(xmin, xmax, ymin, ymax);
setupEdges (a0,b0,c0,a1,b1,c1,a2,b2,c2);

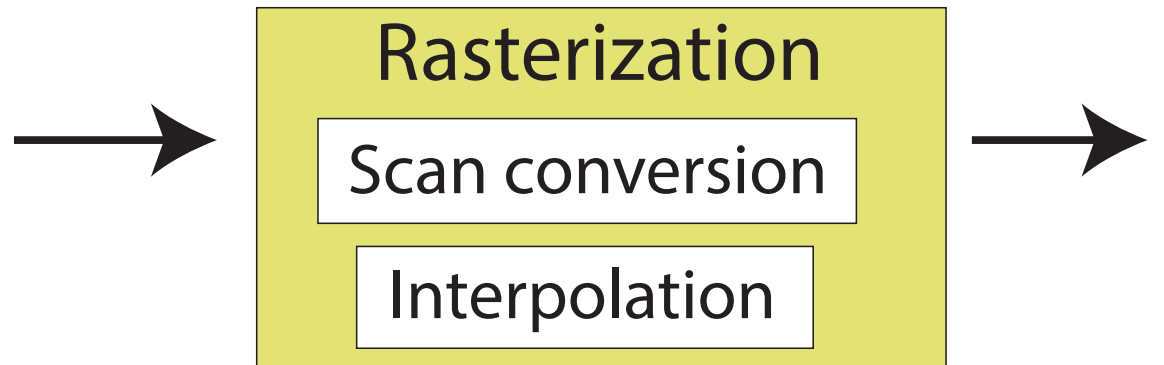
for (int y = yMin; y <= yMax; y++) {
    for (int x = xMin; x <= xMax; x++) {
        float e0 = a0*x + b0*y + c0;
        float e1 = a1*x + b1*y + c1;
        float e2 = a2*x + b2*y + c2;
        if (e0 > 0 && e1 > 0 && e2 > 0)
            Image[x][y] = TriangleColor;
    }
}
```

SCAN CONVERSION

- What are problems of scan conversion?
- How to find a bounding box?
- How to scan-convert an arbitrary polygon?

INTERPOLATION

- What does it do?



L'INTERPOLATION : CALCULER LES VALEURS ENTRE CELLES QU'ON CONNAÎT

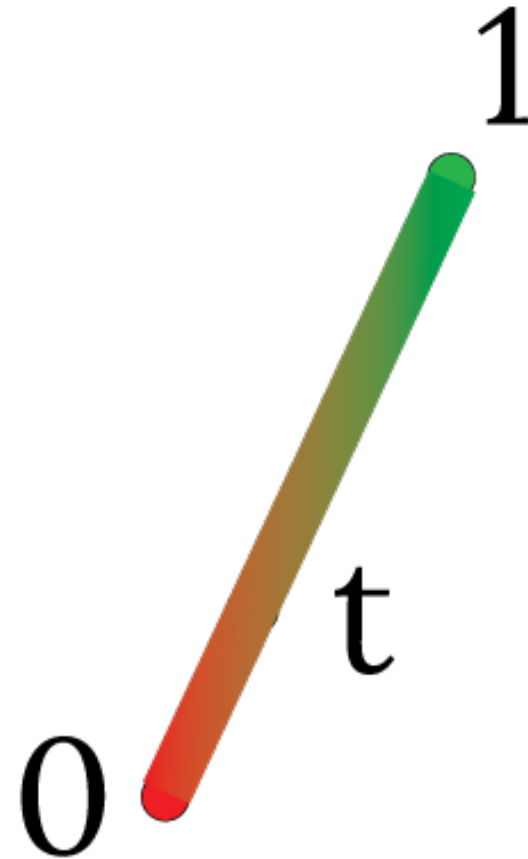
- On interpole:
 - z
 - r, g, b – les composants de la couleur
 - u, v – les coordonnées de la texture
 - (n_x, n_y, n_x) – les composants de la normale
- Les méthodes suivantes sont équivalentes:
 - Les coordonnées barycentriques
 - L'interpolation bilinéaire
 - L'interpolation du plan

PLUS FACILE:

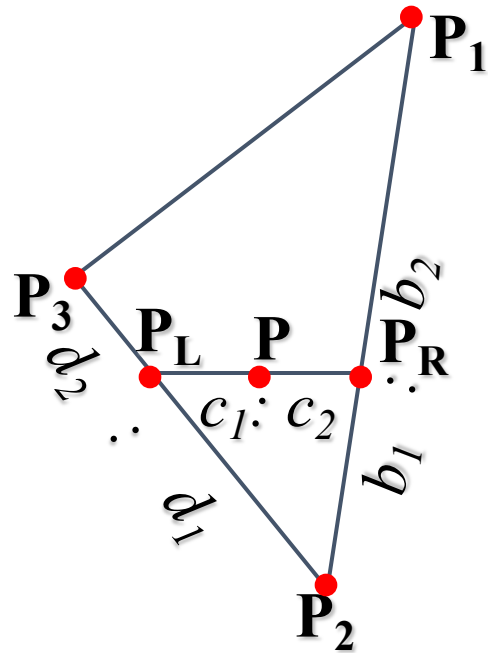
Comment interpoler la couleur entre les deux sommets?

$$c(t) = c(0) \cdot (1 - t) + c(1) \cdot t$$

Interpolation linéaire



L'INTERPOLATION BILINÉAIRE



$$P = \frac{c_2}{c_1 + c_2} \cdot P_L + \frac{c_1}{c_1 + c_2} \cdot P_R$$

$$P_L = \frac{d_2}{d_1 + d_2} P_2 + \frac{d_1}{d_1 + d_2} P_3$$

$$P_R = \frac{b_2}{b_1 + b_2} P_2 + \frac{b_1}{b_1 + b_2} P_1$$

$$P = \frac{c_2}{c_1 + c_2} \left(\frac{d_2}{d_1 + d_2} P_2 + \frac{d_1}{d_1 + d_2} P_3 \right) + \frac{c_1}{c_1 + c_2} \left(\frac{b_2}{b_1 + b_2} P_2 + \frac{b_1}{b_1 + b_2} P_1 \right)$$

LES COORDONNÉES BARYCENTRIQUES

- L'aire

$$A = \frac{1}{2} \left\| \overrightarrow{P_1P_2} \times \overrightarrow{P_1P_3} \right\|$$

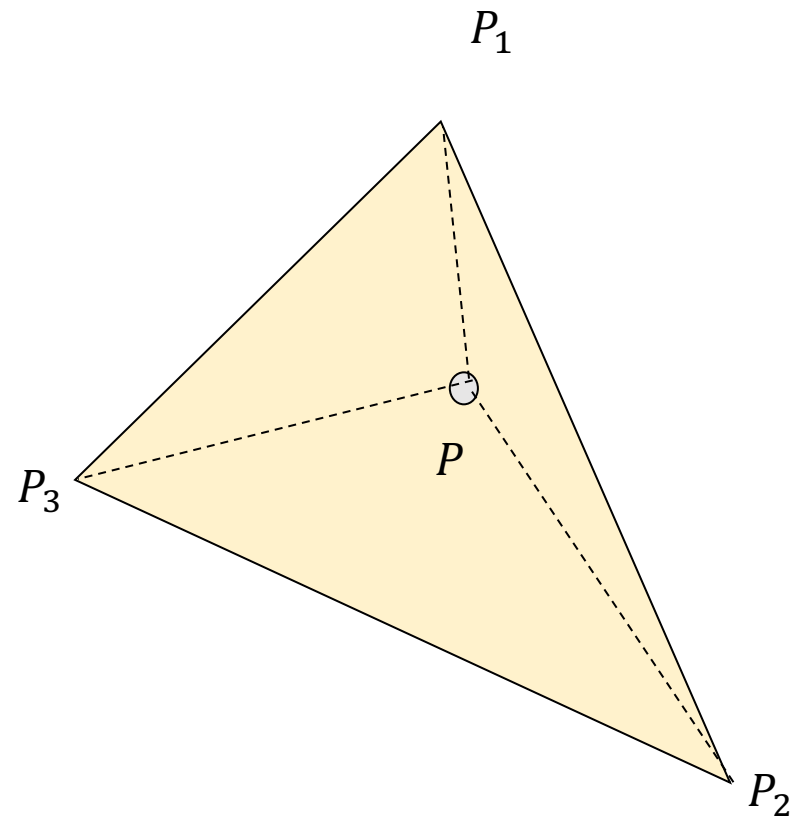
- Les coordonnées barycentriques:

$$a_1 = A_{P_2P_3P}/A, a_2 = A_{P_3P_1P}/A,$$

$$a_3 = A_{P_1P_2P}/A,$$

$$P = a_1P_1 + a_2P_2 + a_3P_3$$

$$f(P) = a_1f(P_1) + a_2f(P_2) + a_3f(P_3)$$

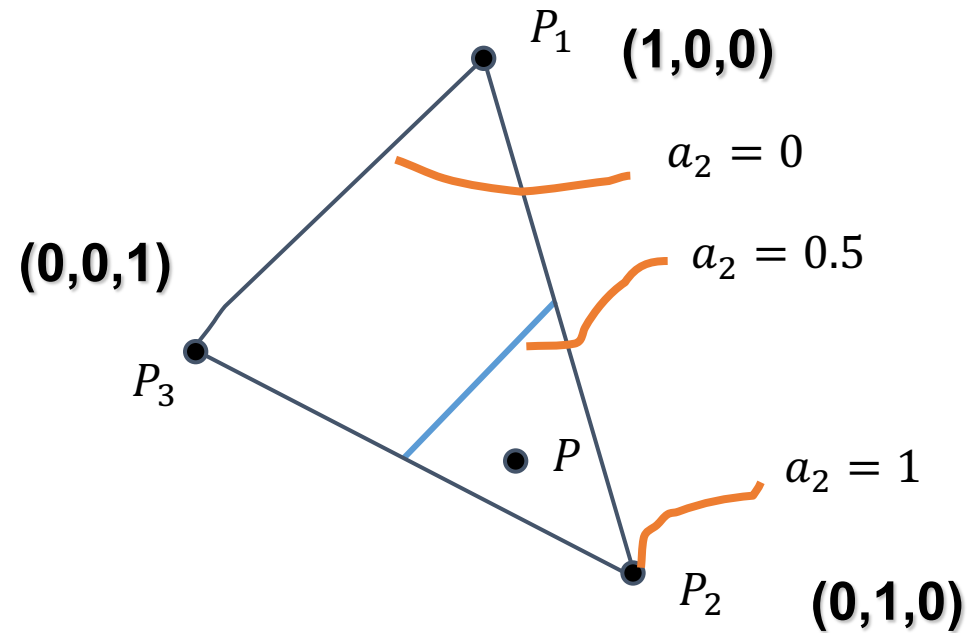


CHAQUE POINT À L'INTÉRIEUR DU TRIANGLE EST

- Une combinaison pondérée (affine) des sommets

$$P = a_1 \cdot P_1 + a_2 \cdot P_2 + a_3 \cdot P_3$$

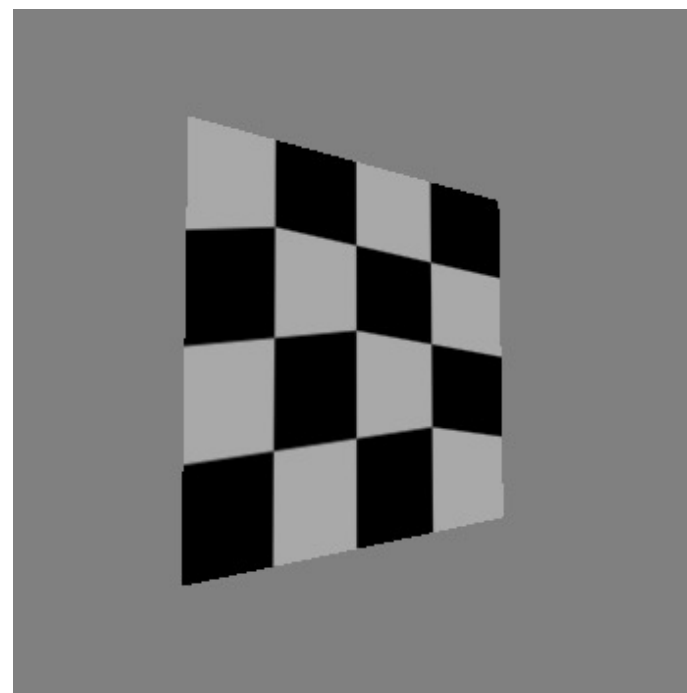
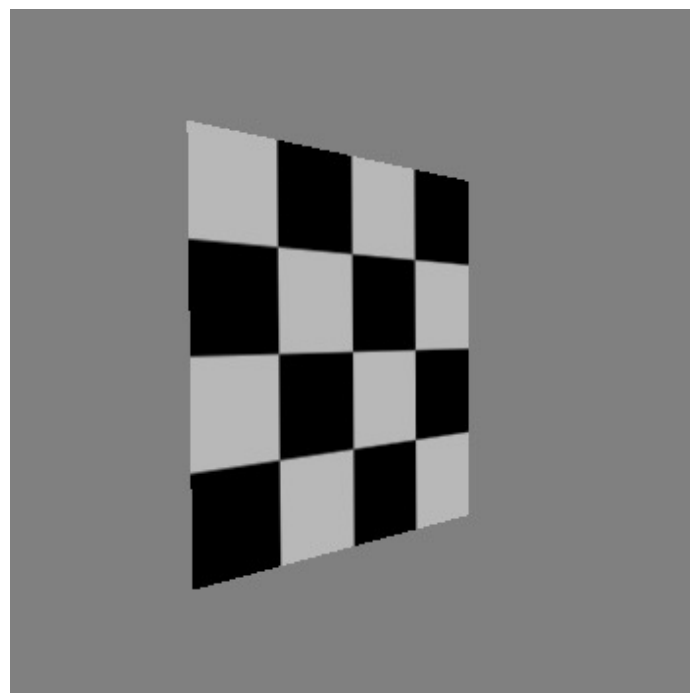
$$a_1 + a_2 + a_3 = 1$$
$$0 \leq a_1, a_2, a_3 \leq 1$$



TEXTURE MAPPING

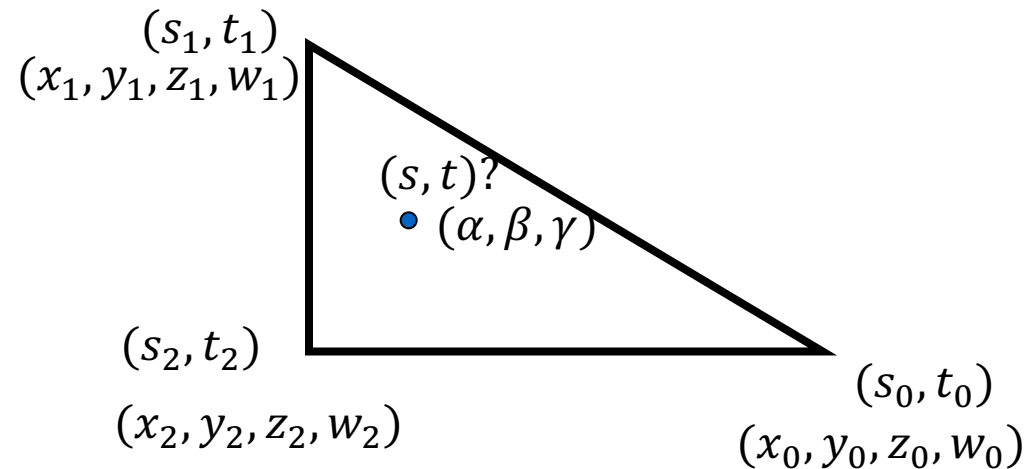
Après la projection perspective, l'interpolation linéaire dans l'espace de l'affichage est incorrecte

- Pour les textures, aussi bien que pour les couleurs, shading, etc.



L'INTERPOLATION APRÈS LA PERSPECTIVE

- α, β, γ : les coordonnées barycentriques (2D) du point P
- s_0, s_1, s_2 : les coordonnées dans l'espace de la texture
- w_0, w_1, w_2 : les coordonnées homogènes des vecteurs



$$s = \frac{\alpha \cdot s_0/w_0 + \beta \cdot s_1/w_1 + \gamma \cdot s_2/w_2}{\alpha/w_0 + \beta/w_1 + \gamma/w_2}$$

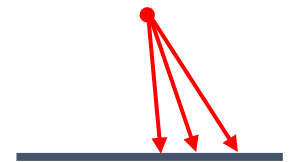
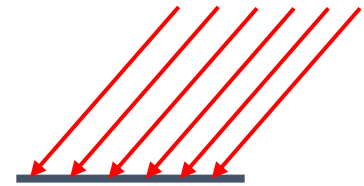
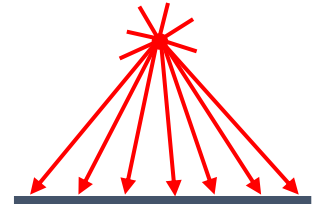
- La même chose pour t

La dérivation (les triangles similaires):

https://www.comp.nus.edu.sg/~lowkl/publications/lowk_persp_interp_techrep.pdf

LES TYPES DE SOURCES DE LUMIÈRE

- Lumière ponctuelle
 - La lumière provient d'un point
 - définie par la position seulement
- Lumière directionnelle (=la lumière ponctuelle à l'infinité)
 - Les rayons sont parallèles
 - Les rayons frappent la surface au même angle
 - définie par la direction seulement
- Lumière ponctuelle de type *spotlight*
 - Une lumière ponctuelle mais avec les angles limités
 - définie par la position, la direction et l'intervalle des angles



LUMIÈRES

- La lumière a une couleur
- Elle interagit avec la couleur de la surface (r, g, b)

$$I = I_a k_a$$

$$I_a = (I_{ar}, I_{ag}, I_{ab})$$

$$k_a = (k_{ar}, k_{ag}, k_{ab})$$

$$I = (I_r, I_g, I_b) = (I_{ar}k_{ar}, I_{ag}k_{ag}, I_{ab}k_{ab})$$

- La lumière bleue sur la surface blanche?
- La lumière bleue sur la surface rouge?

CALCULER LA RÉFLEXION DIFFUSE

Elle dépende de l'**angle d'incidence**: l'angle entre la normale est la direction de la lumière

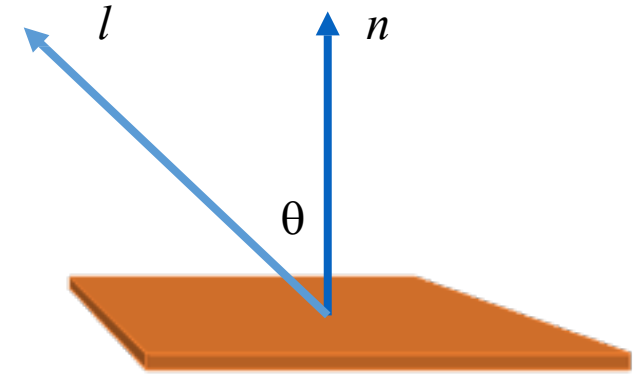
$$I_{diffuse} = k_d I_{light} \cos\theta = k_d I_{light} (n \cdot l)$$

Les variables suivantes sont de scalaires (pour les niveaux de gris) ou des triplés (la couleur)

- k_d : un coefficient diffus, la couleur de surface
- I_{light} : l'intensité lumineuse entrante
- $I_{diffuse}$: l'intensité lumineuse sortante

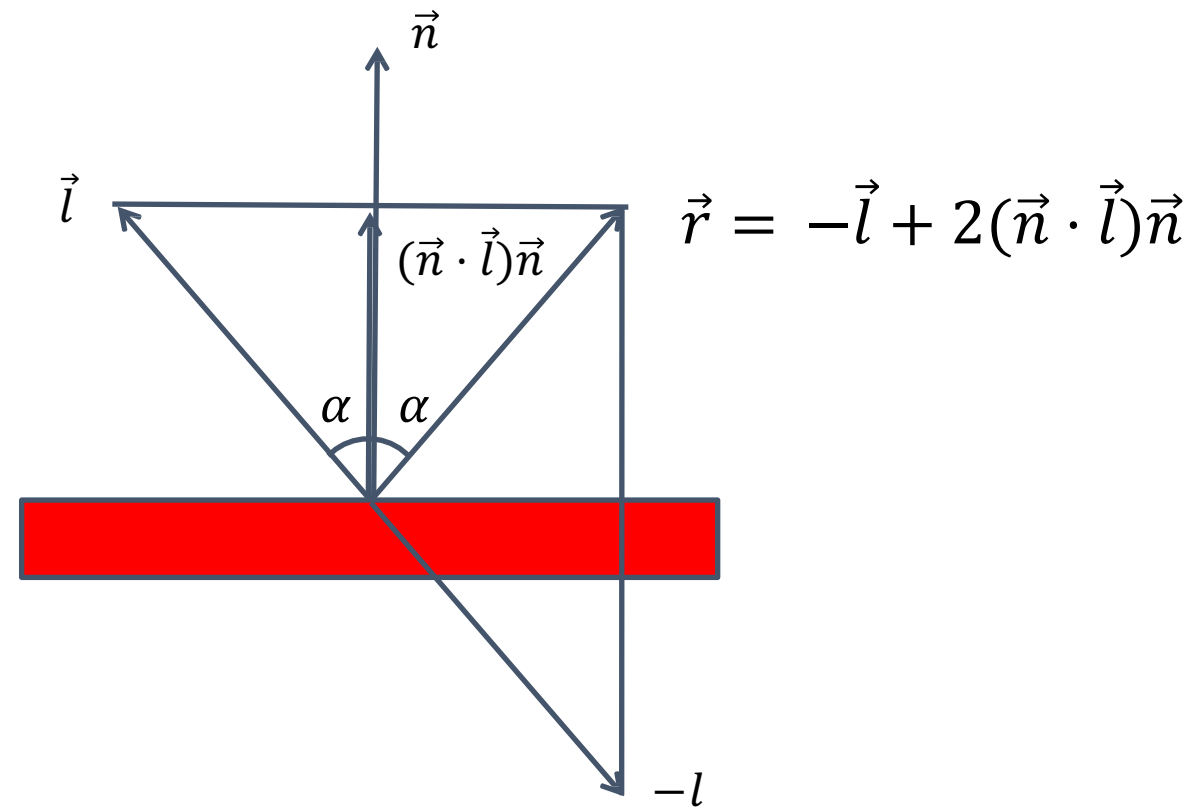
NB: Il faut toujours normaliser les vecteurs en *shading*

- n, l doivent avoir une longueur 1



LA PHYSIQUE DE LA RÉFLEXION SPÉCULAIRE

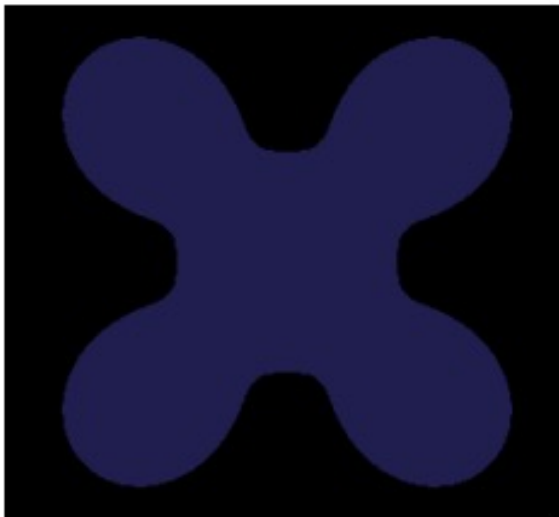
- La géométrie de la réflexion parfaite (spéculaire)
 - La loi de Snell-Descartes



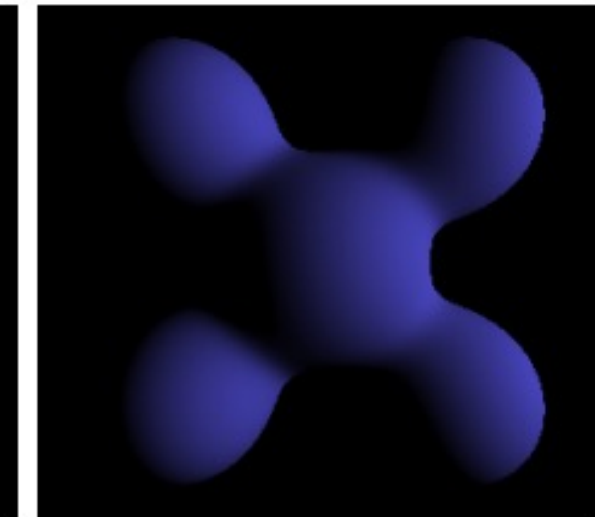
L'ÉQUATION D'ÉCLAIRAGE (PHONG)

- Si on ajoute la composante de la lumière ambiante:

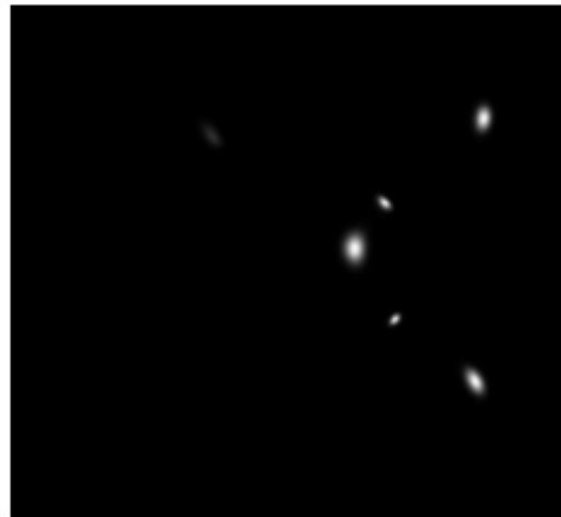
$$I_a k_a + \sum_p I_p (k_d (n \cdot l_p) + k_s (r_p \cdot v)^n)$$



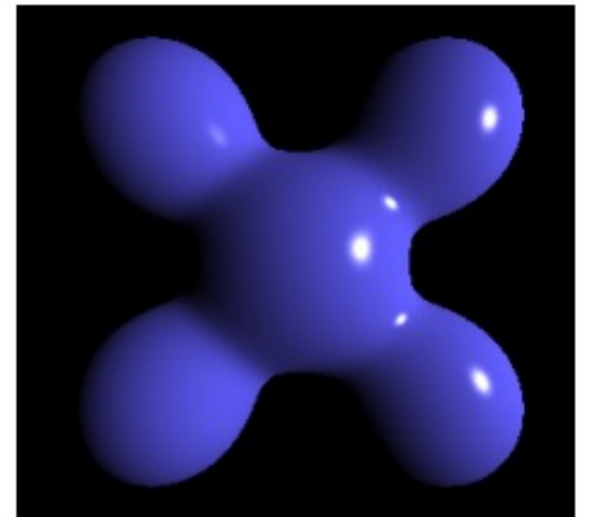
Ambient



Diffuse



Specular



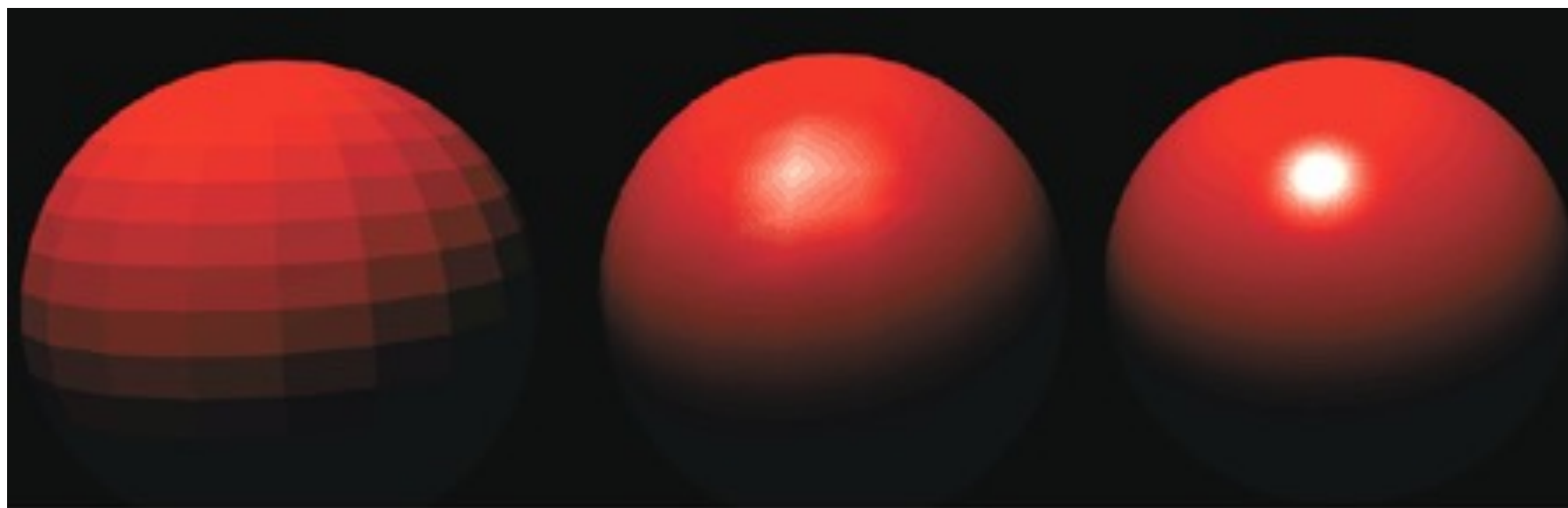
= Phong Reflection

QUAND UTILISER UN MODÈLE D'ÉCLAIRAGE?

Par polygone
“l’ombrage plat”

Par sommet
“l’ombrage
de Gouraud”

Par pixel/fragment
“per pixel lighting”
“l’ombrage de
Phong”

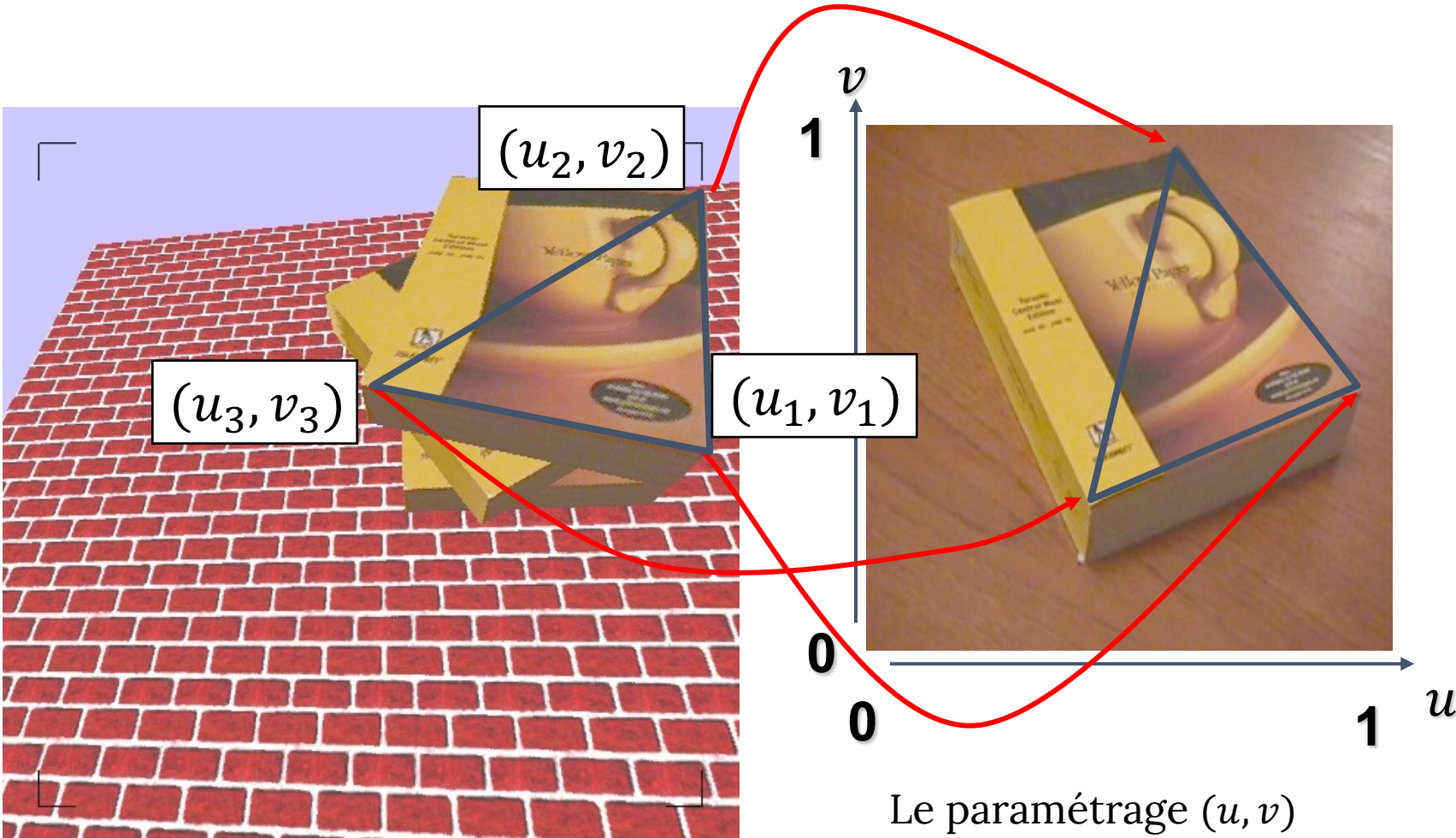


Flat

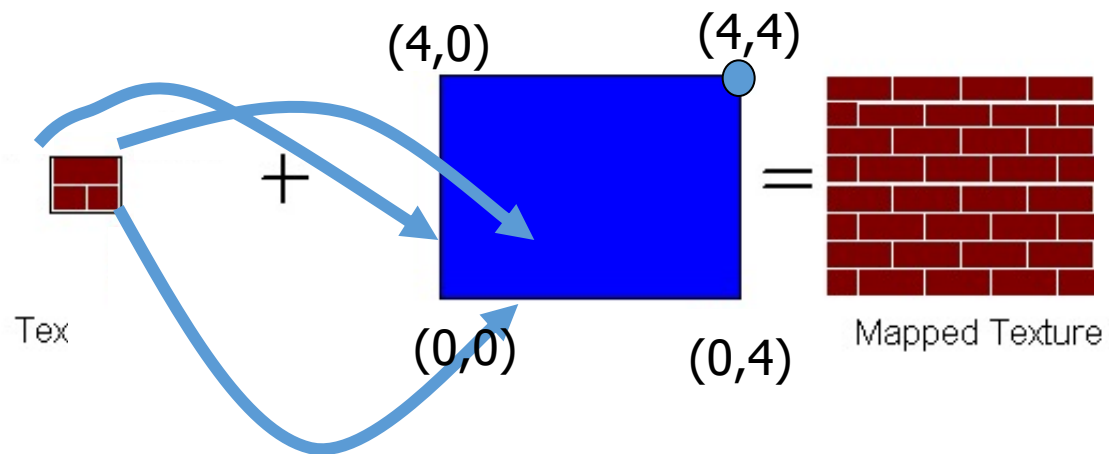
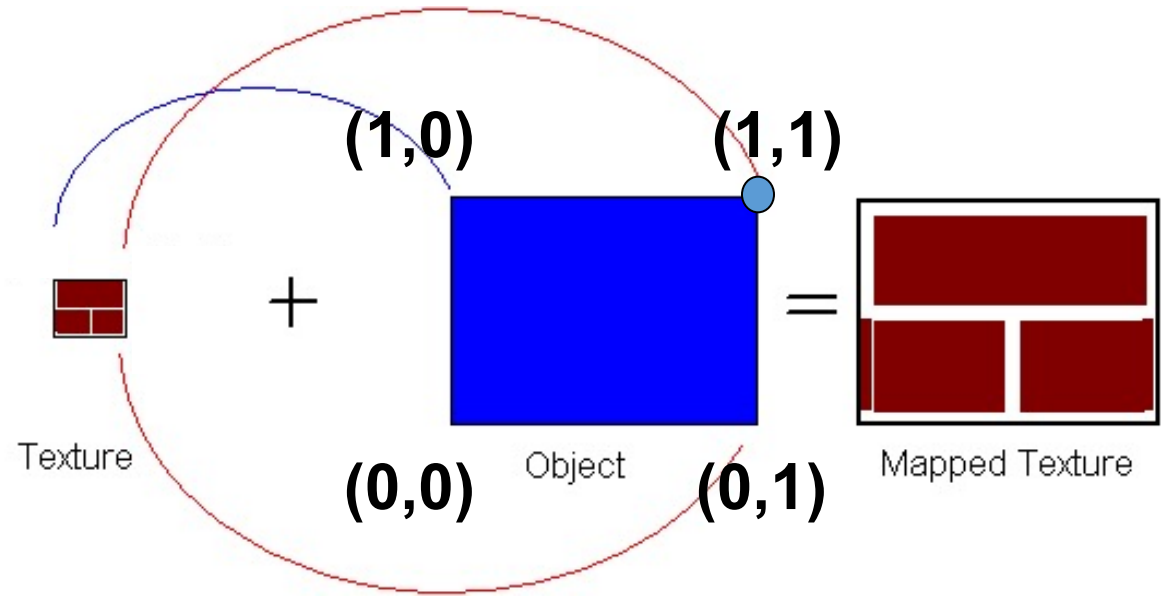
Gouraud

Phong

TEXTURE MAPPING

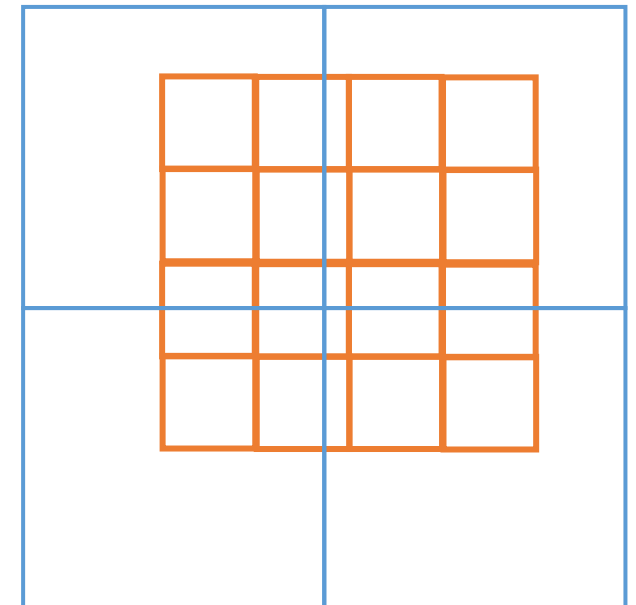
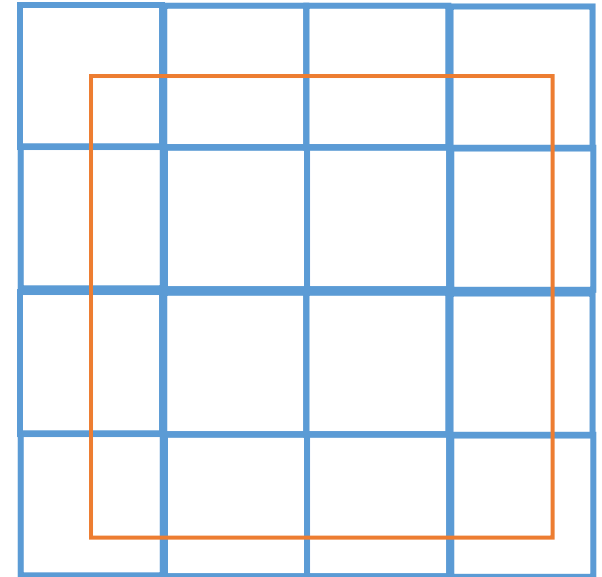


TILED TEXTURE MAP



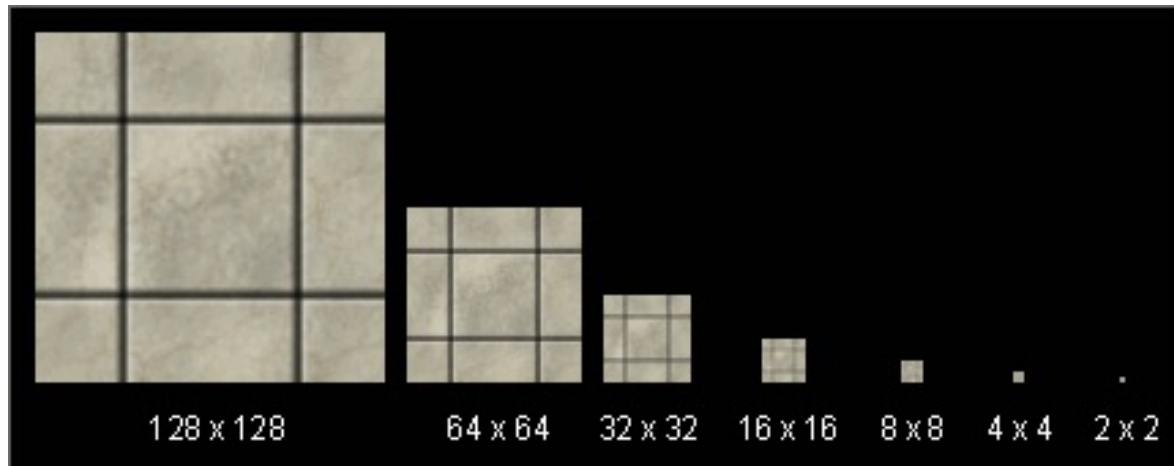
LA RECONSTRUCTION

- Comment faire avec:
 - Les **pixels** qui sont beaucoup plus grands que les **texels**?
 - La minification
 - Les **pixels** qui sont beaucoup plus petits que les **texels**?
 - La magnification

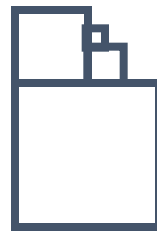


MIPMAPPING

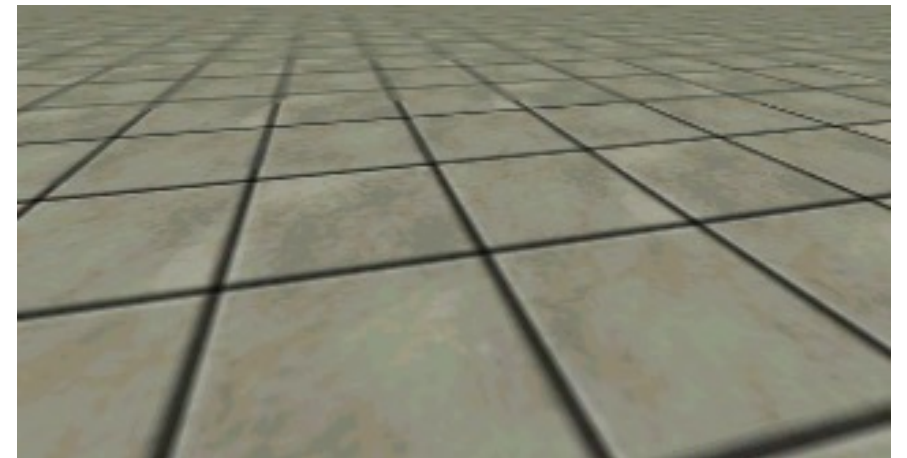
Utiliser “une pyramide d’image” pour précalculer les versions moyennes d’image



Stocker la pyramide
entière comme un seul
bloc de mémoire



Sans MIP-mapping

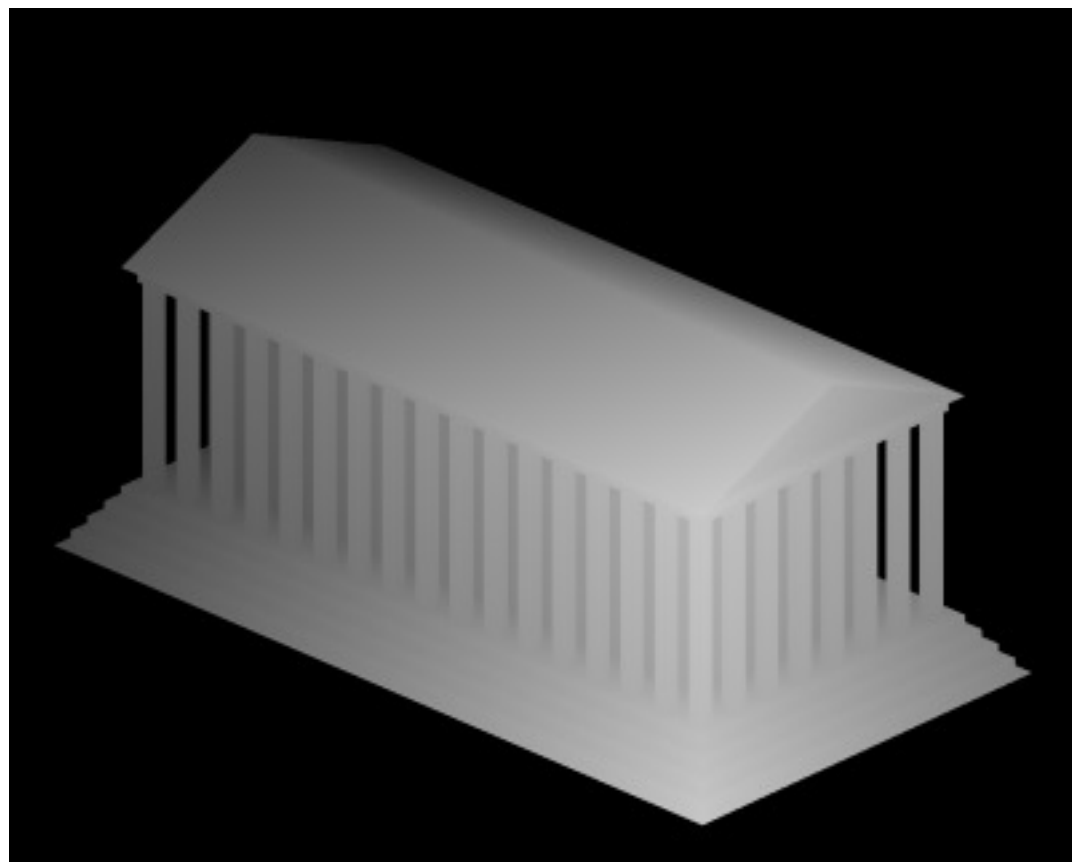


Avec MIP-mapping

LES OMBRES

On a besoin d'au moins 2 passes de *shaders*:

1. Rendre tout comme vu depuis la lumière
Enregistrer la profondeur (tampon de profondeur, '*depth map*')

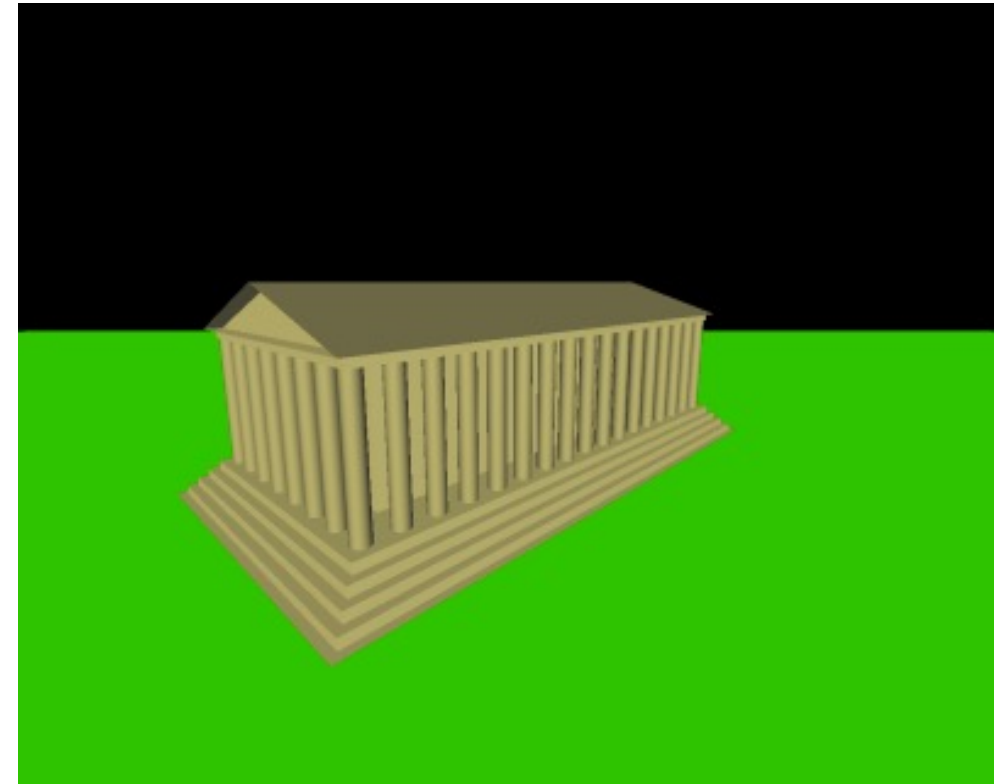


LES OMBRES (IDÉE)

On a besoin d'au moins 2 passes de *shaders*:

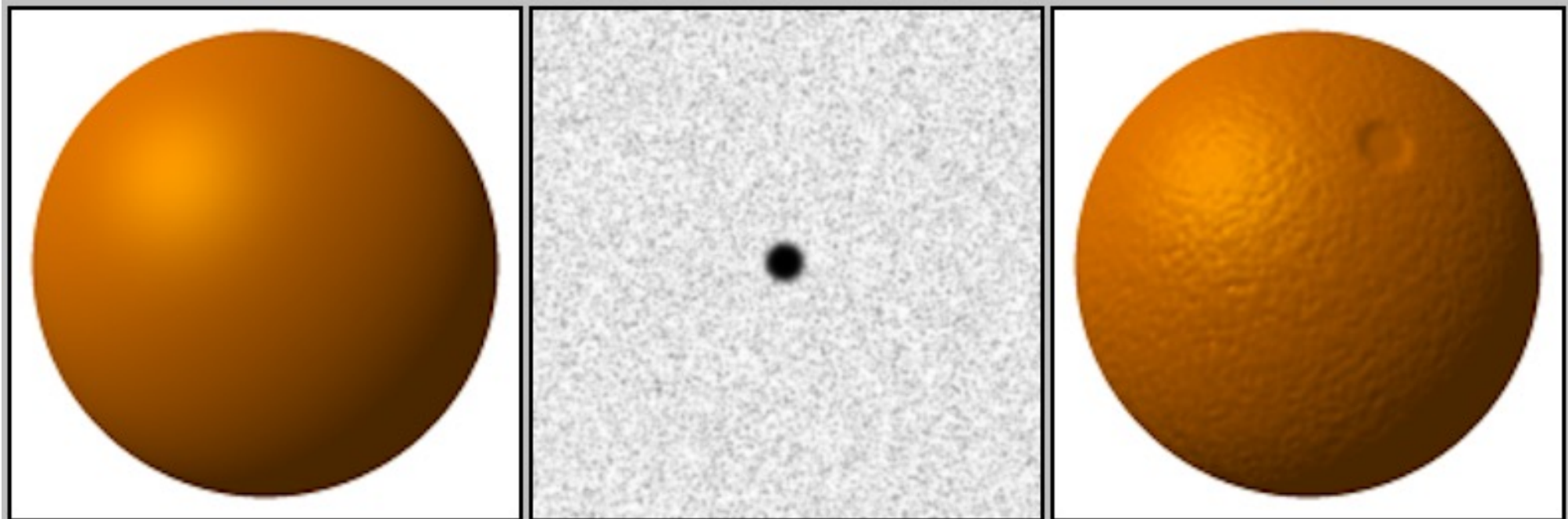
1. Rendre tout comme vu depuis la lumière
Enregistrer la profondeur (tampon de profondeur/ombre, '*shadow map*')
2. Maintenant, rendre tout depuis la CAMÉRA
Quand on calcule la couleur d'un fragment:

- Convertir les coordonnées dans l'espace de la lumière (x_l, y_l, z_l)
 - Prendre la profondeur $D(x_l, y_l)$
- Est-ce $z_l > D(x_l, y_l)$?
 - Oui: je suis dans l'ombre
 - Non: je suis éclairé

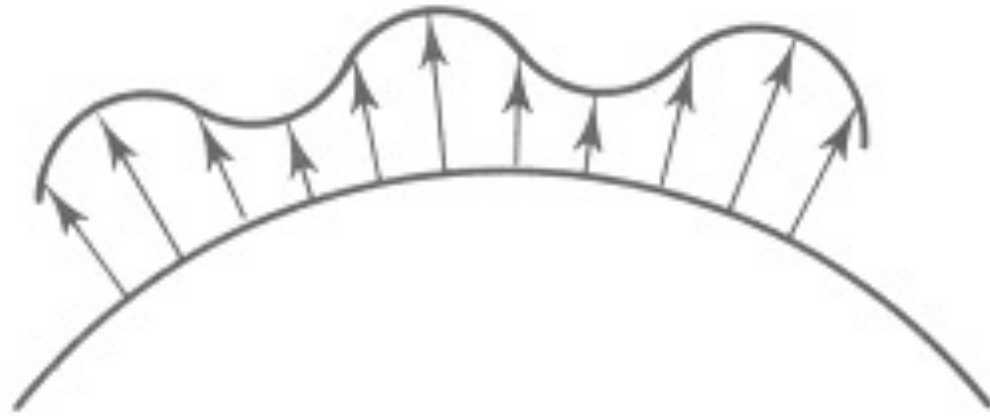


BUMP MAPPING ET NORMAL MAPPING

- La surface de l'objet est souvent rugueuse
 - On peut créer une géométrie plus complexe...
- Ou on peut la simuler en perturbant la normale seulement
 - Soit aléatoire
 - Soit spécifiée par une texture

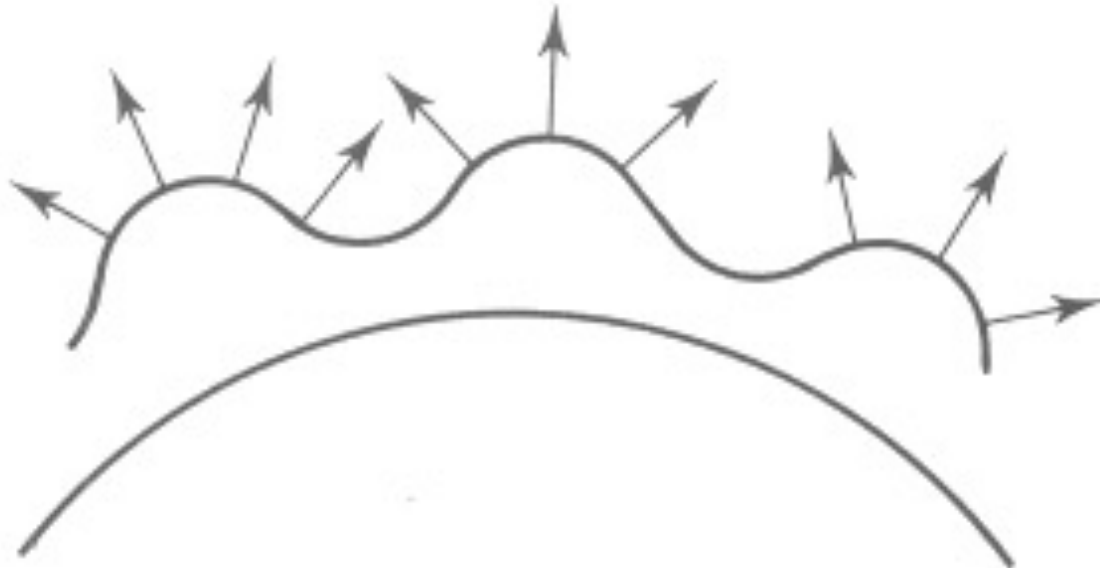


BUMP MAPPING



$O'(u)$

Lengthening or shortening
 $O(u)$ using $B(u)$

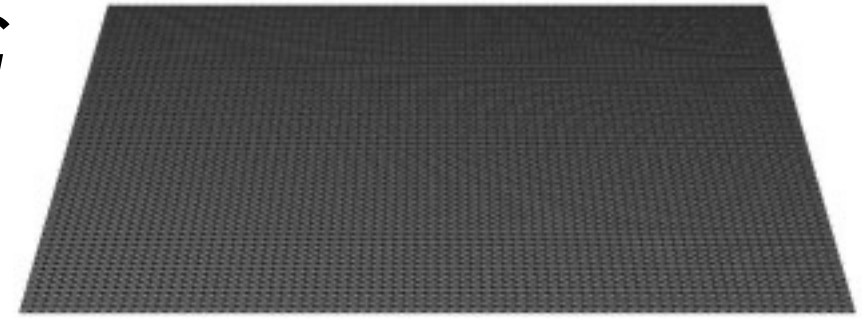


$N'(u)$

The vectors to the
'new' surface

DISPLACEMENT MAPPING

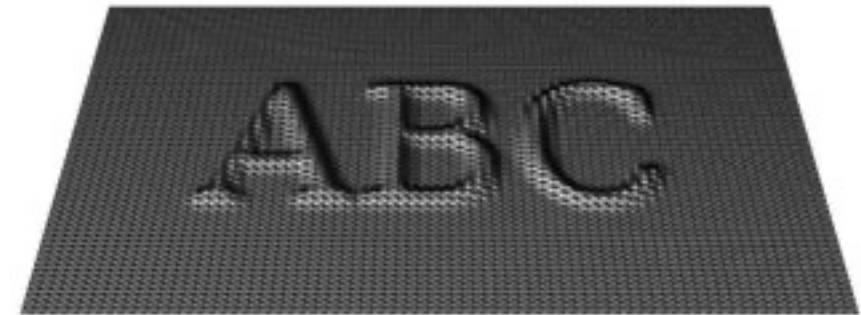
- Les silhouettes sont fausses après *le bump mapping*
 - Et les ombres aussi!
- Changer la géométrie en temps réel
 - On a besoin de subdiviser la surface



ORIGINAL MESH



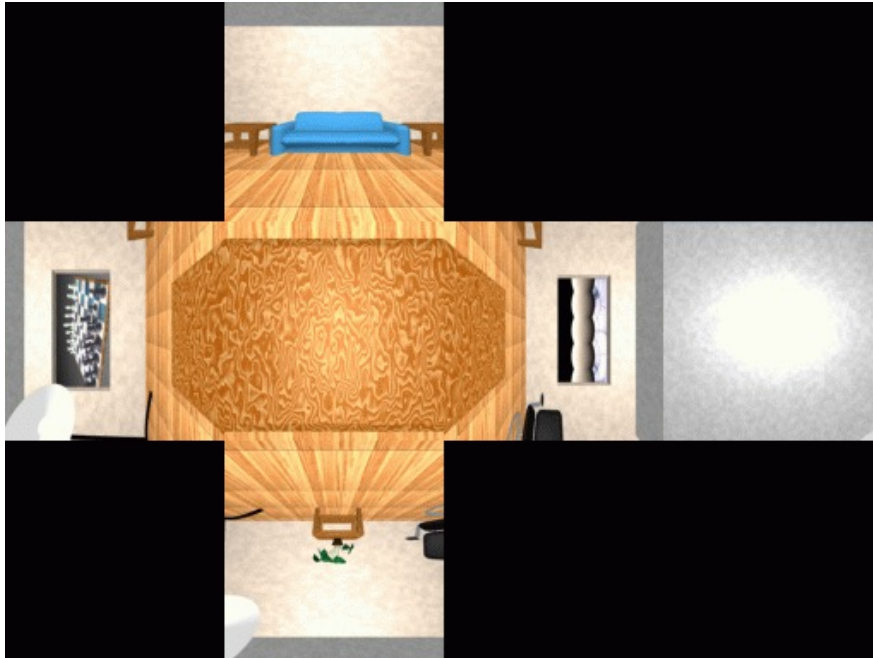
DISPLACEMENT MAP



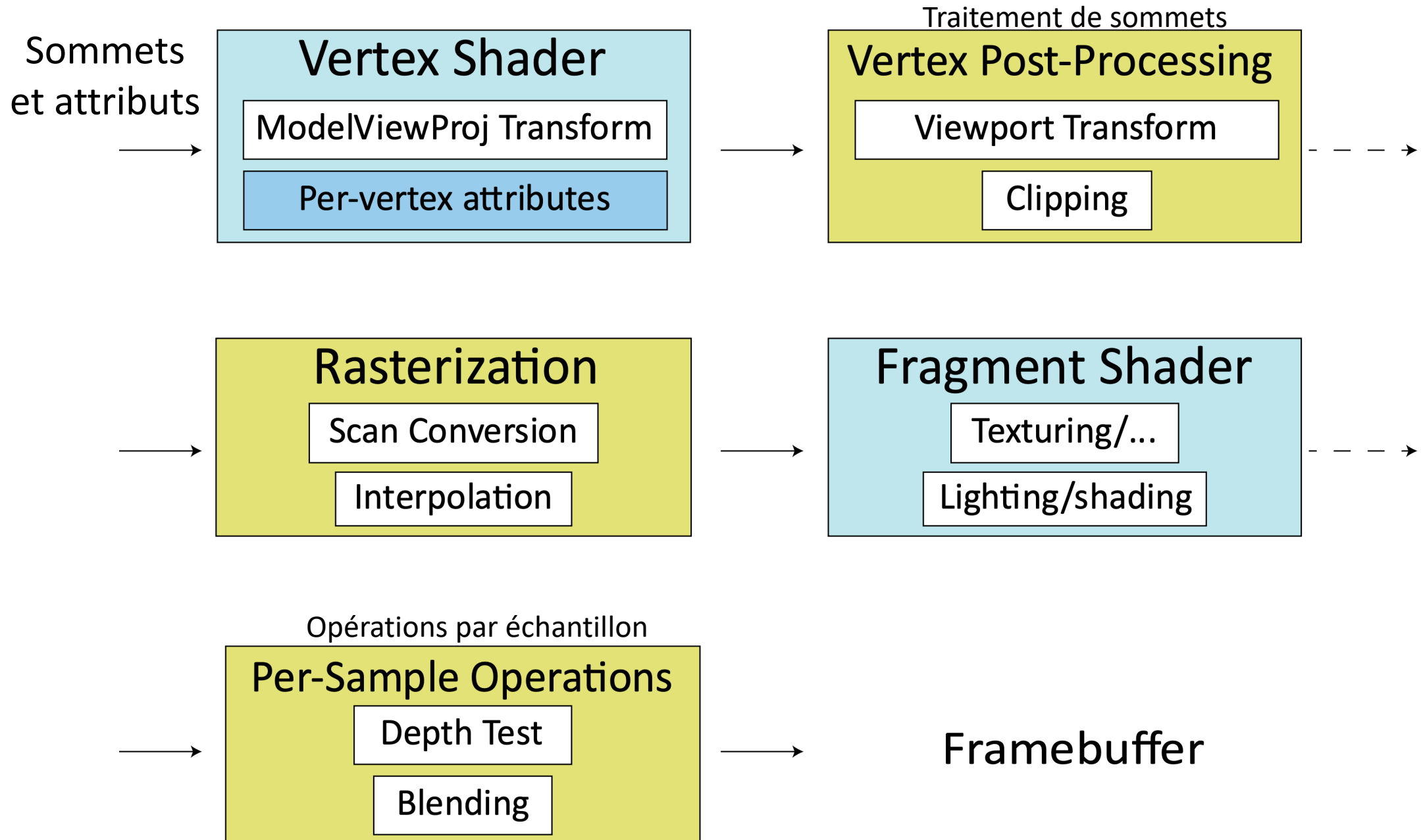
MESH WITH DISPLACEMENT

CUBE MAPPING

- 6 textures planaires, les faces du cube
 - Pointe la caméra depuis l'origine dans 6 directions



PIPELINE: PLUS DE DÉTAILS



ALGORITHME DU PEINTRE: LES PROBLÈMES

- Les polygones qui s'intersectent posent un problème
- Même les polygones sans intersections peuvent poser problème aussi:

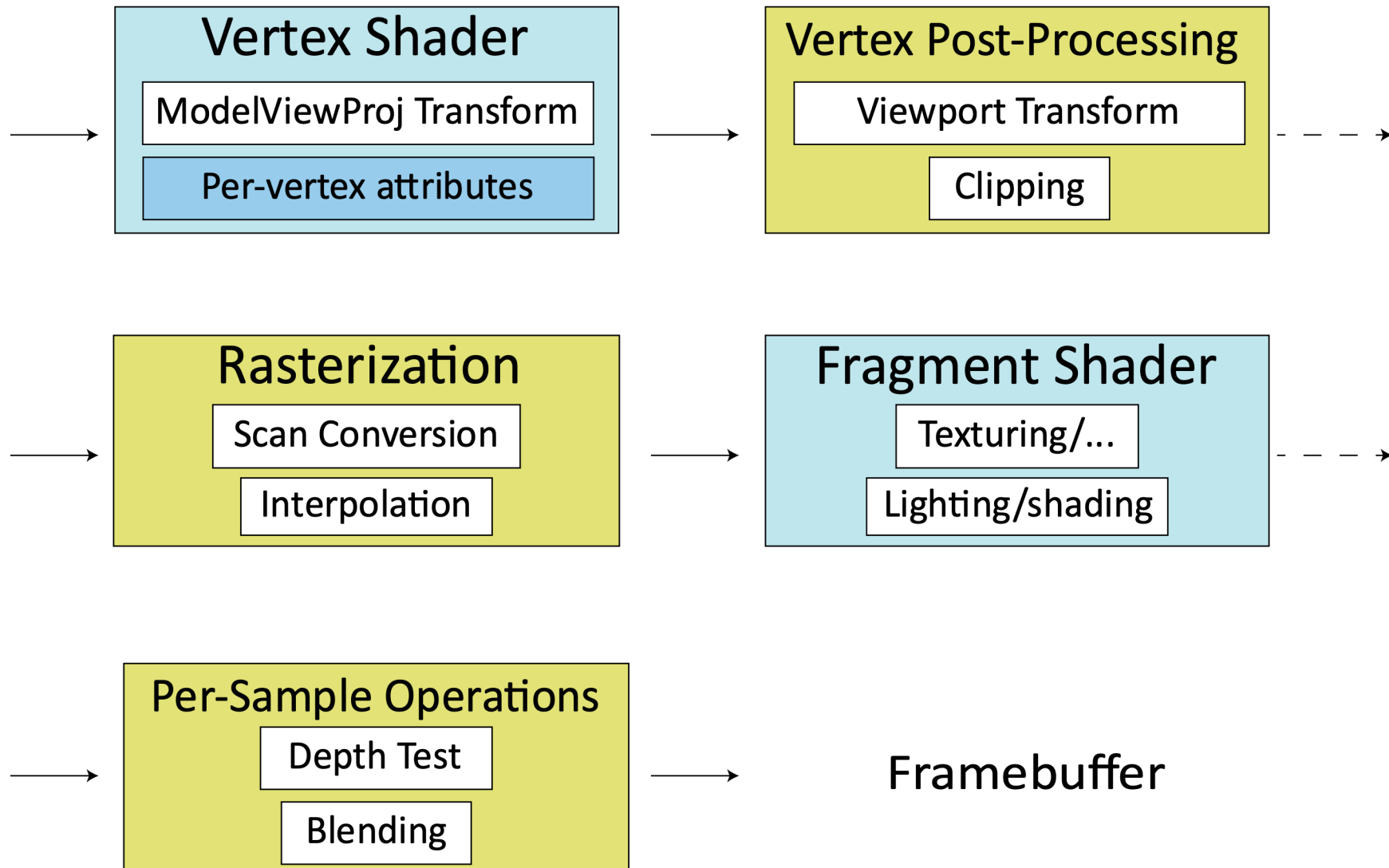


TAMPON DE PROFONDEUR

- Stocker (r, g, b, z) pour chaque pixel
 - Normalement, 8+8+8+24 bits, peut-être plus

```
for all i, j {
  Depth[i, j] = MAX_DEPTH
  Image[i, j] = BACKGROUND_COLOUR
}
for all polygons P {
  for all pixels in P {
    if (Z_pixel < Depth[i, j]) {
      Image[i, j] = C_pixel
      Depth[i, j] = Z_pixel
    }
  }
}
```

POURQUOI APRÈS FRAGMENT SHADER??



LA PRÉCISION DU TEST DE PROFONDEUR

- Un rappel: une transformation projective transforme z du système de coordonnées de vue aux coordonnées normalisées (NDCS)
- L'exemple simple:

$$T \begin{pmatrix} \begin{bmatrix} x \\ y \\ z \\ 1 \end{bmatrix} \end{pmatrix} = \begin{bmatrix} 1 & 0 & 0 & 0 \\ 0 & 1 & 0 & 0 \\ 0 & 0 & a & b \\ 0 & 0 & -1 & 0 \end{bmatrix} \begin{bmatrix} x \\ y \\ z \\ 1 \end{bmatrix}$$

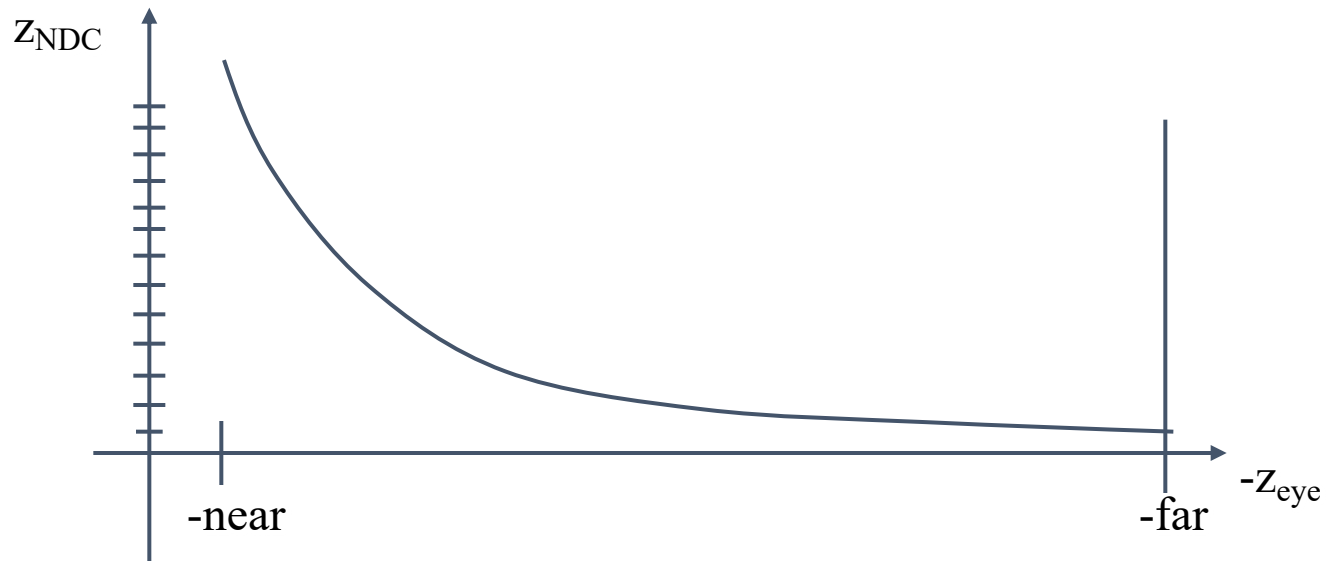
- Donc,

$$z_{NDC} = \frac{az_{eye} + b}{-z_{eye}} = -a - \frac{b}{z_{eye}}$$

LA PRÉCISION DU TEST DE PROFONDEUR

Donc, le tampon de profondeur stocke $1/z$ à la place de z !

- Les problèmes avec les tampons en entiers
 - Haute précision pour les objets proches
 - Faible précision pour les objets éloignés



LA PRÉCISION DU TEST DE PROFONDEUR

- La faible précision peut entraîner du **Z-fighting** pour les objets éloignés
 - Deux profondeurs différentes peuvent devenir la même valeur (quantization)
 - Quel objet gagne dépend de l'ordre de l'affichage
- Pire pour les grands ratios $\frac{f}{n}$
 - Règle générale: $\frac{f}{n} < 1000$ pour une profondeur sur 24 bits
- Avec 16 bits on ne voit pas les différences de 1cm à la distance de 1km

LES MODÈLES ET ALGORITHMES D'ÉCLAIRAGE

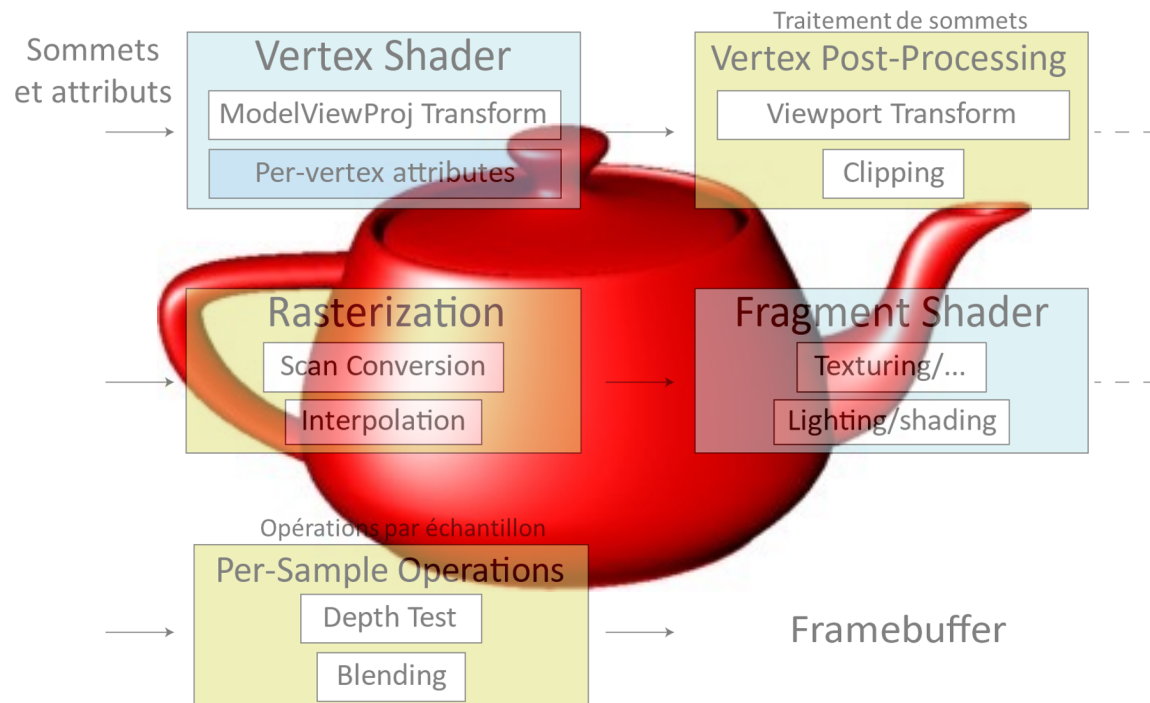
L'éclairage local - rapide

- Plus loin de la physique
- Approximer l'apparence

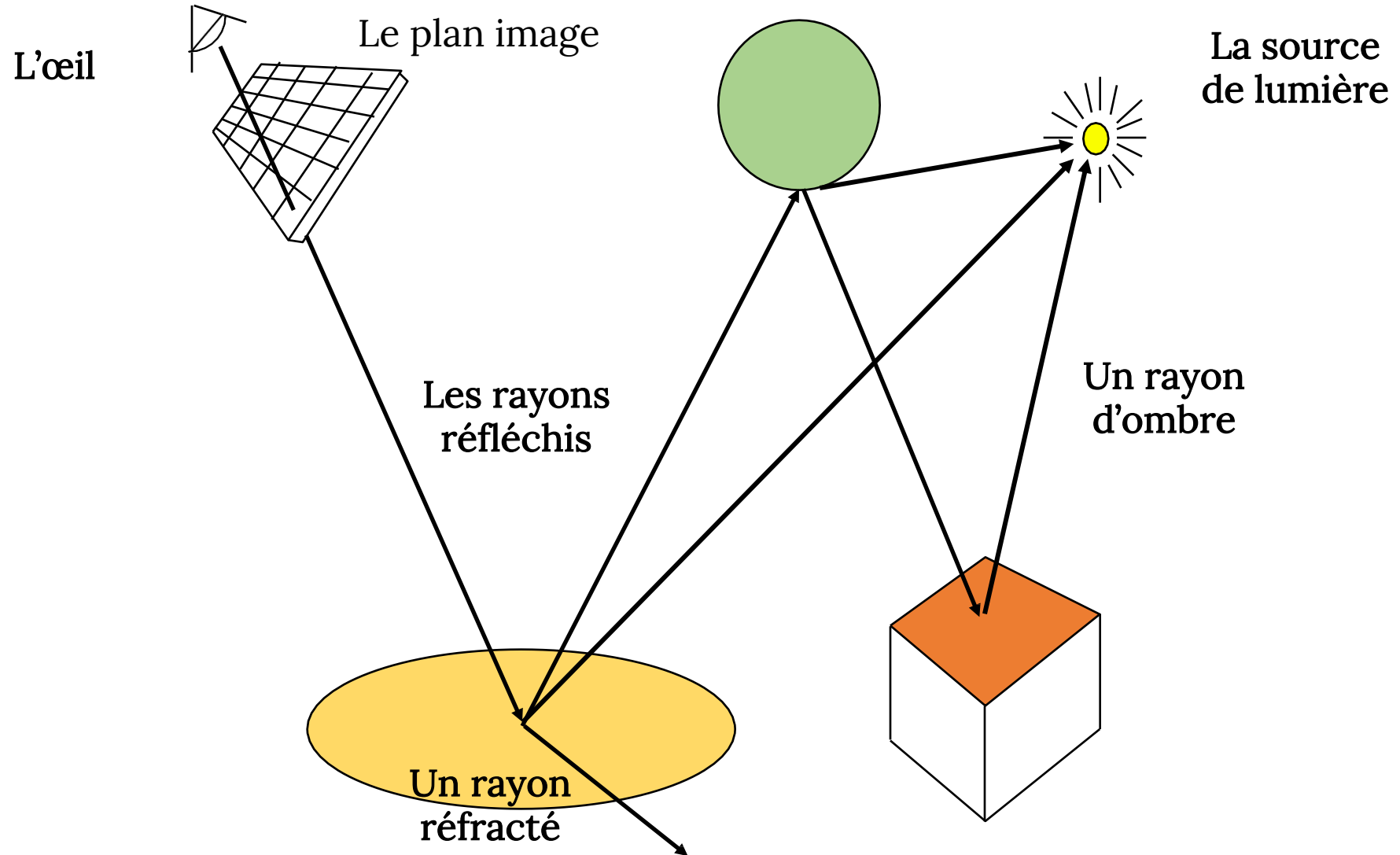
L'interaction de chaque objet avec la lumière

L'éclairage global - lent

- Plus proche de la physique
- Les interactions entre les objets



L'IDÉE DU LANCER DE RAYONS



LES INTERSECTIONS

- La cœur du lancer de rayons \Rightarrow Elles doivent être calculées très rapidement
- Normalement, elles impliquent de résoudre des équations implicites

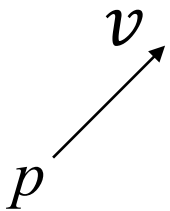
Exemple: L'intersection entre un rayon et une sphère

Un rayon: $x(t) = p_x + v_x t$, $y(t) = p_y + v_y t$,
 $z(t) = p_z + v_z t$

Une sphère unitaire: $x^2 + y^2 + z^2 = 1$

L'équation quadratique en t :

$$\begin{aligned} 0 &= (p_x + v_x t)^2 + (p_y + v_y t)^2 + (p_z + v_z t)^2 - 1 = \\ &= t^2(v_x^2 + v_y^2 + v_z^2) + 2t(p_x v_x + p_y v_y + p_z v_z) \\ &\quad + (p_x^2 + p_y^2 + p_z^2) - 1 \end{aligned}$$

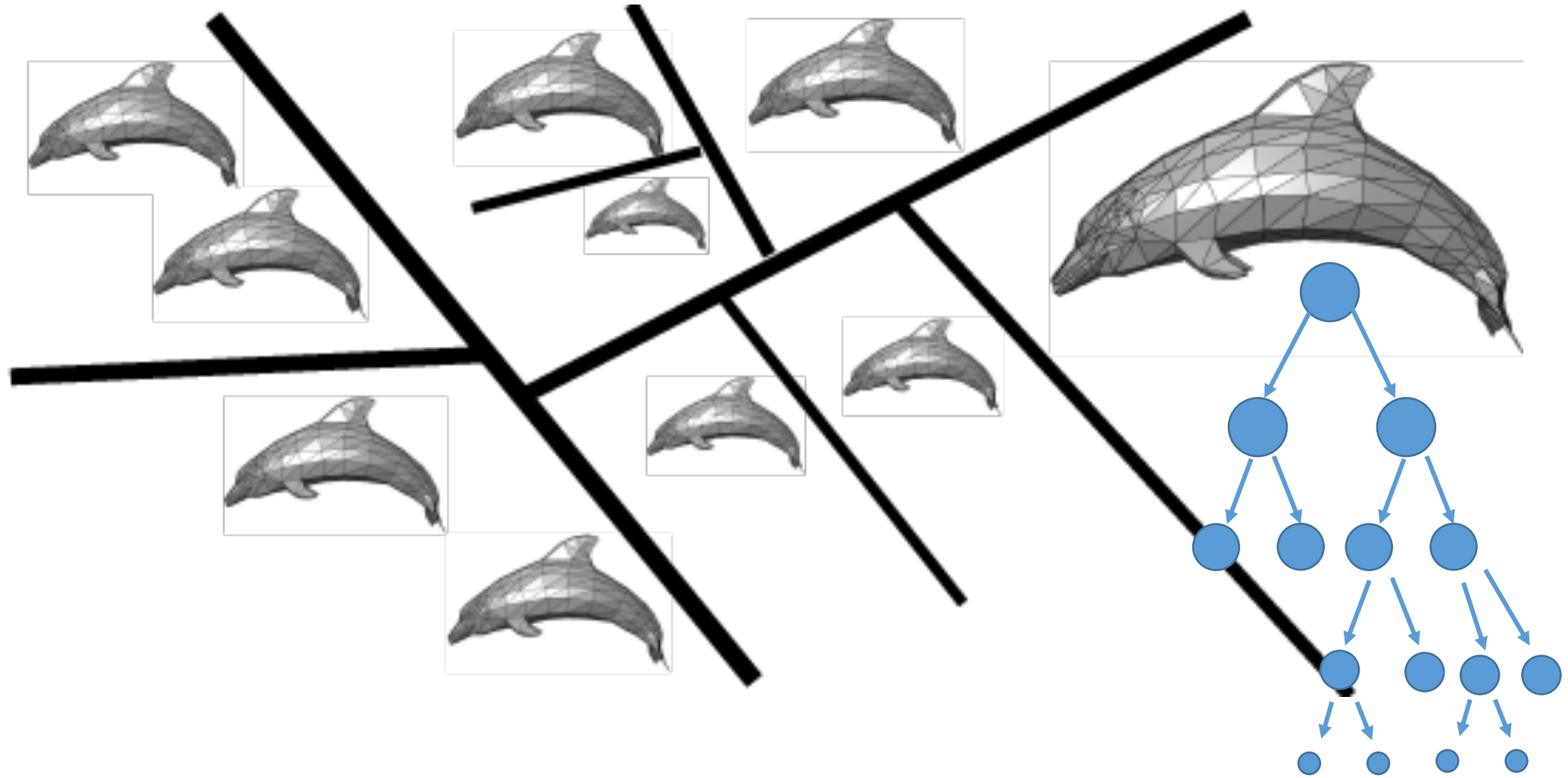


LANCER DE RAYONS: L'ÉCLAIRAGE DIRECT

Pour les maillages de triangles

- Interpoler l'information par sommets
 - Phong shading!
 - Comme qu'avant
- La différence entre le pipeline:
 - Il faut calculer les coordonnées barycentriques pour chaque point d'intersection

LES ARBRES BSP: UNE CONSTRUCTION

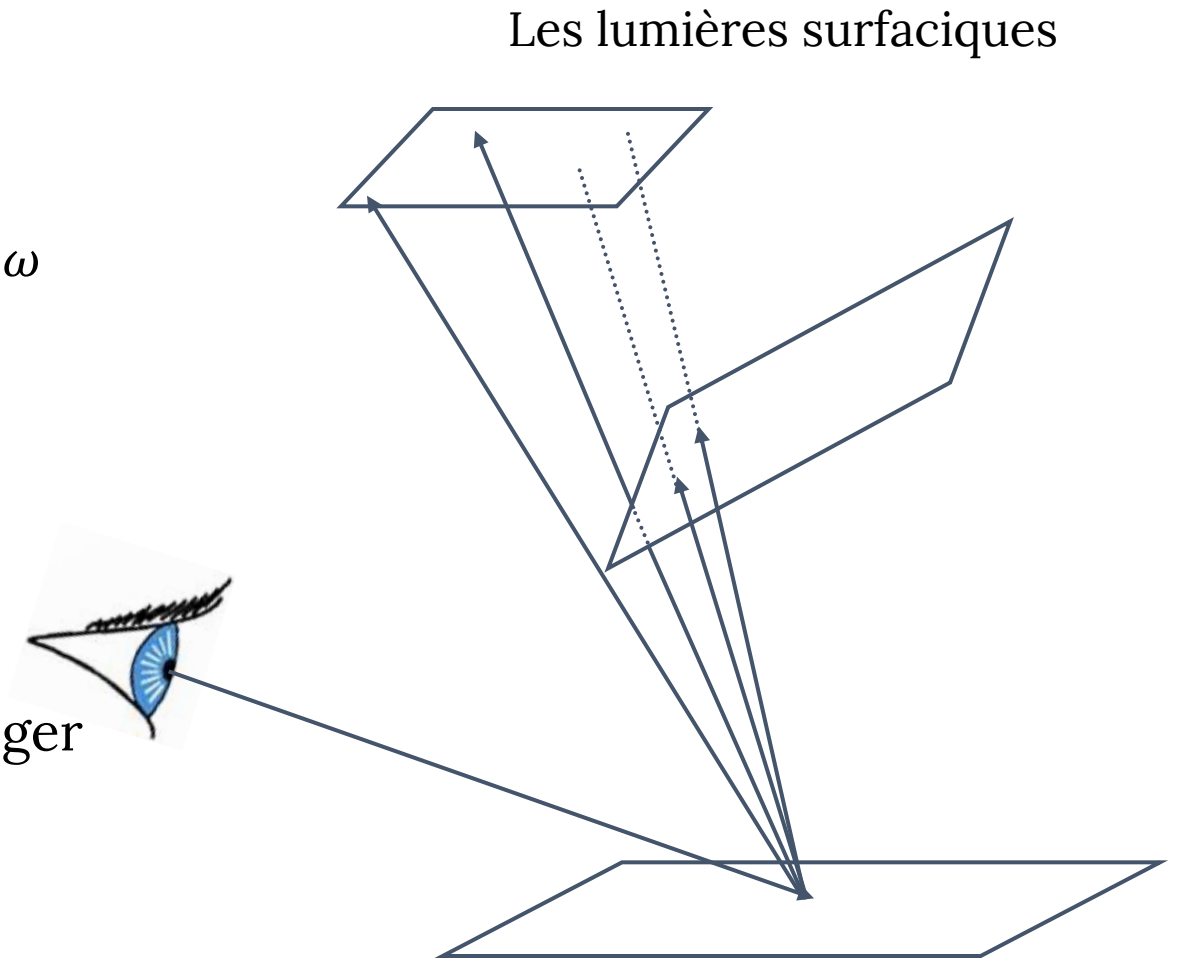


LES LUMIÈRES SURFACIQUES

- Les lumières surfaciques:
 - Nombre infini de rayons lumineux
 - Il faut intégrer:

$$I_{reflected} = \int_{\substack{\text{light} \\ \text{directions}}} \rho(\omega, \mathbf{n}) V(\omega) I_{light}(\omega) d\omega$$

- La visibilité et l'intensité peuvent changer pour différents points



LES LUMIÈRES SURFACIQUES

Récrire l'intégrale, au lieu d'intégrer sur les **directions**

$$I_{reflected} = \int_{\substack{\text{light} \\ \text{directions}}} \rho(\omega, \mathbf{n}) V(\omega) I_{light}(\omega) d\omega$$

intégrer sur les **points** de la lumière

$$I_{reflected}(q) = \int_{s,t} \rho(\mathbf{p} - q, \mathbf{n}) V(\mathbf{p} - q) I_{light}(\mathbf{p}) ds dt$$

- q est un point sur l'objet
- $\mathbf{p} = F(s, t)$ est un point sur la lumière

TRACER DE CHEMINS: LA VERSION LA PLUS SIMPLE

```
PathTrace(Ray r) {  
  P = closestIntersection(r);  
  if (random(emit, reflect) == emit)  
    return EmissionColor;  
  else {  
    Ray v = {intersectionPt,  
             randomDirectionInHemisphere(r.normalWhereObjWasHit)};  
    double cos_theta = dot(v.direction, r.normalWhereObjWasHit);  
    return PathTrace(v)*cos_theta*reflectance;  
  }  
}
```

QUELS MÉLANGES PEUT-ON FAIRE?

- La transparence simple (“*over operator*”):

- $f_1 = ADD, f_2 = ADD$

- $d_1 = 1 - S.\alpha$

- $s_1 = S.\alpha$

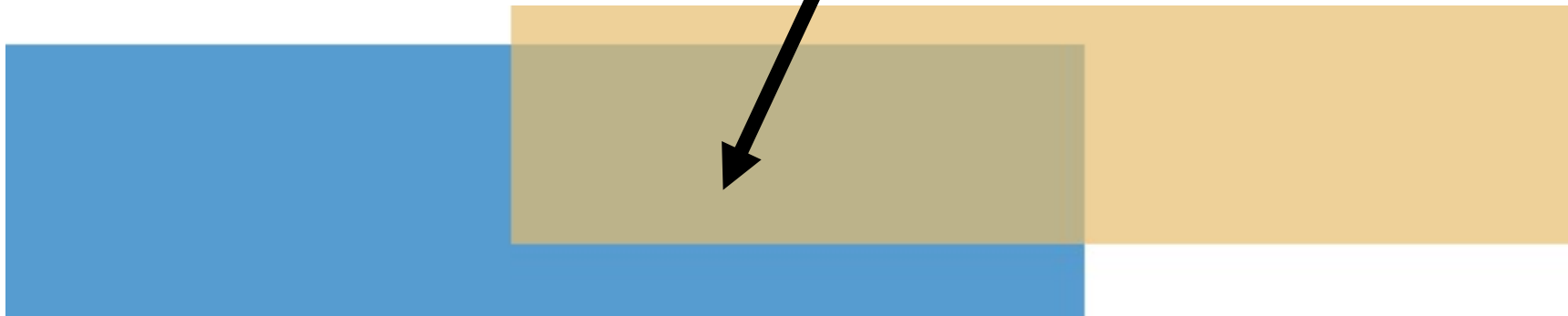
- $d_2 = 0$

- $s_2 = 1$

$$\begin{aligned} \text{rgb: } & (1 - 0.7) \cdot (0, 0, 1) + 0.7 \cdot (1, 1, 0) \\ & = (0, 0, 0.3) + (0.7, 0.7, 0) = (0.7, 0.7, 0.3) \end{aligned}$$

$$\text{Out.rgb} = (1 - S.\alpha) \cdot D.\text{rgb} + S.\alpha \cdot S.\text{rgb}$$

$$\text{Out.}\alpha = 0 \cdot D.\alpha + 1 \cdot S.\alpha$$



$\alpha = 1.0$ (opaque)

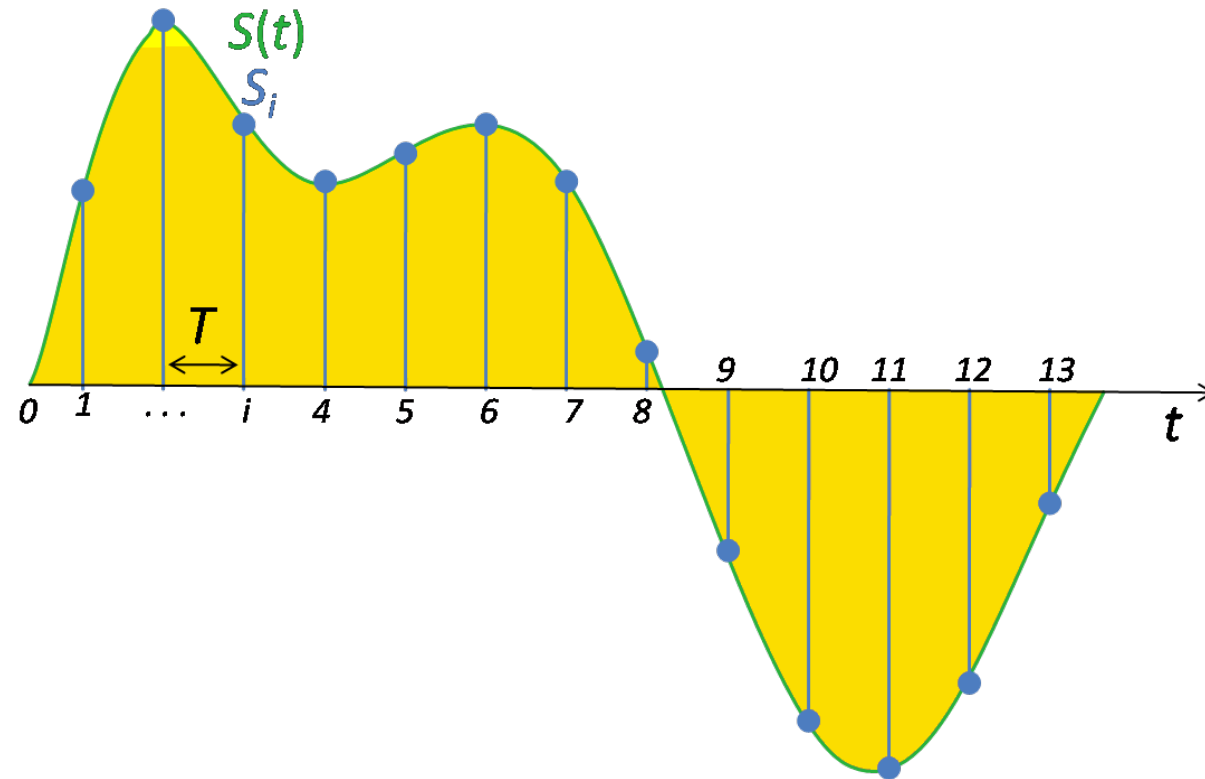
$\alpha = 0.7$ (transparent)

ALPHA BLENDING EN OPENGL

- *Alpha blending* est une opération dépendante de l'ordre!
 - Il importe quel objet est affiché en premier
 - Et quelle surface se trouve devant
- Pour les scènes 3D, il faut garder une trace de l'ordre de rendu: « *Transparency Sorting* »
 - Afficher d'abord la surface arrière
 - Les surfaces opaques vont en premier
 - L'algorithme du peintre!
 - On utilise le test de profondeur
 - e.g. pour afficher un objet opaque avant les objets translucides

CONTINUU VS DISCRET

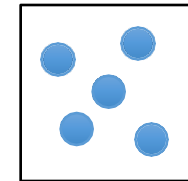
- Continu \rightarrow Discret: *Échantillonnage*
- Discret \rightarrow Continu: *Reconstruction/ Interpolation*



OVER-SAMPLING

- Même cette intégrale n'est pas facile à calculer
- Au lieu de cela, elle est approximée par une somme:

$$I[i, j] \leftarrow \frac{1}{n} \sum_{k=1}^n I(x_k, y_k)$$



Où k indexe un ensemble de points (x_k, y_k) appelés les positions d'échantillons

Il faut rendre la version de haute résolution pour la couleur est la profondeur

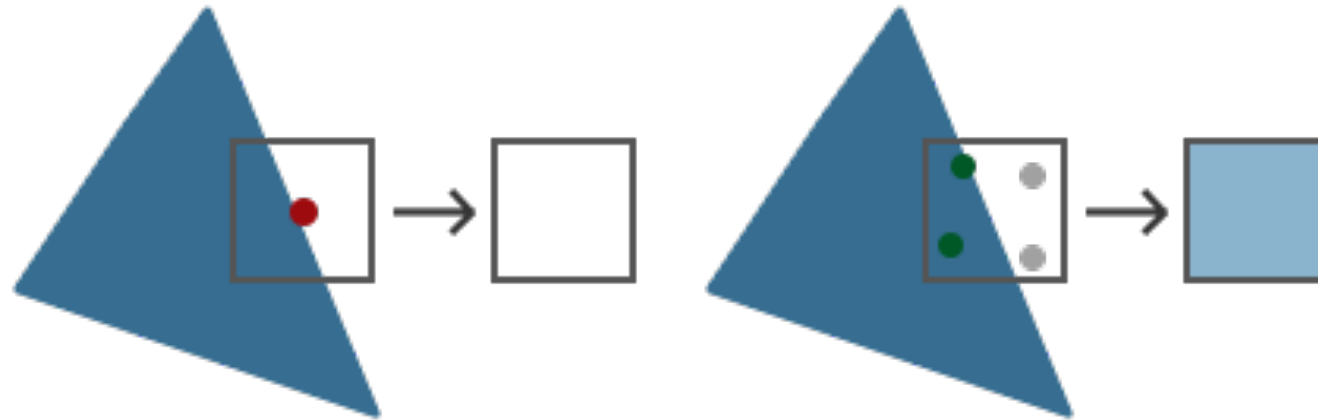
- On utilise le mot «échantillon» pour les pixels des images de hautes résolutions

SUPER-SAMPLING

- Si les position d'échantillonnage sont sur grille régulière, c'est *super-sampling*.
- On peut utiliser les autres modèles des positions
 - Les modèles moins réguliers peuvent éviter les erreurs systématiques (biais)

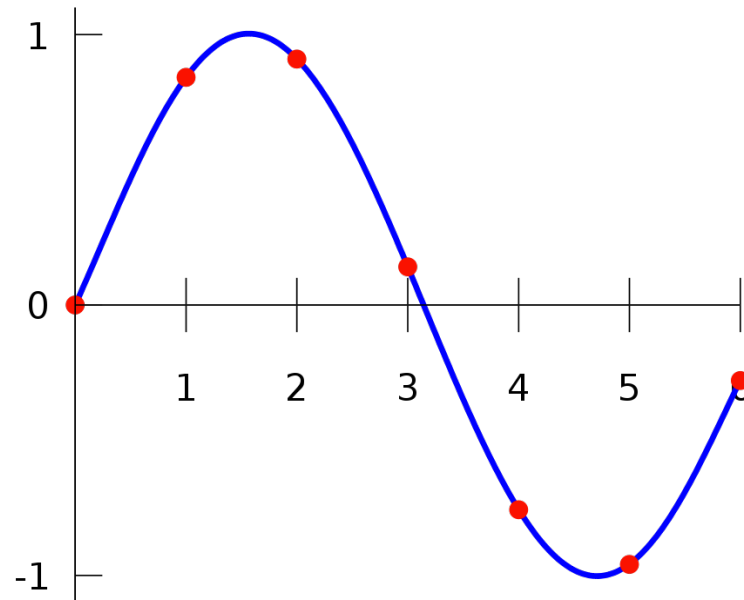
MULTI-SAMPLING

- Faire le rendu en haute résolution (la couleur + profondeur)
- Pendant la rasterisation de chaque triangle, “la couverture” et les valeurs z sont calculées à ce niveau
- (efficacité) Mais le *fragment shader* est exécuté **une fois par pixel final (par triangle)**



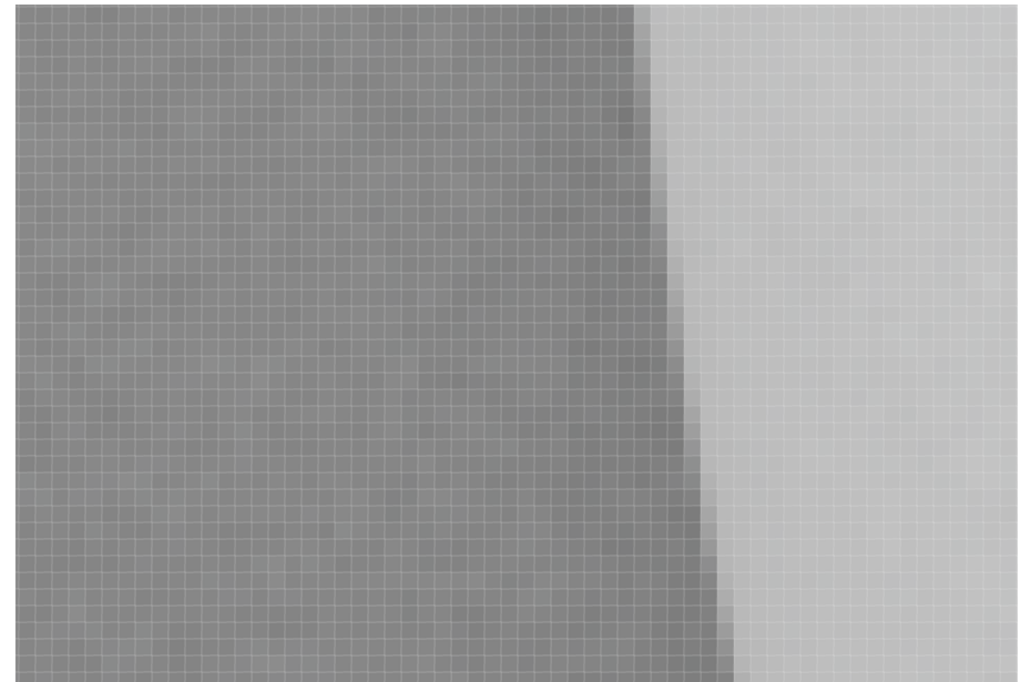
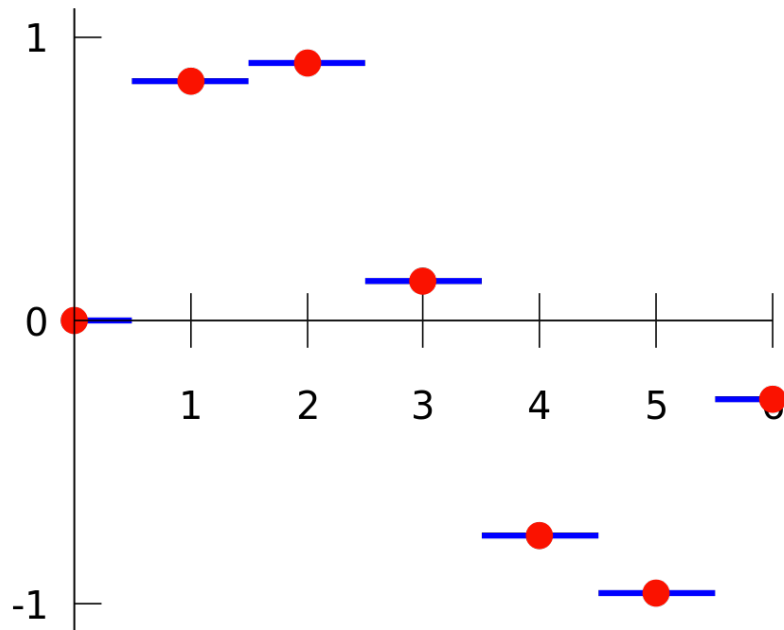
QU'EST-CE QUE L'INTERPOLATION?

- Intuitivement: remplir les valeurs entres celles qu'on connait
- Plus formellement:
 - Soit $\{x_i, y_i\}, i = 1 \dots N$
 - Trouver une fonction $f(x)$, telle que $f(x_i) = y_i, i = 1 \dots N$



L'INTERPOLATION CONSTANTE

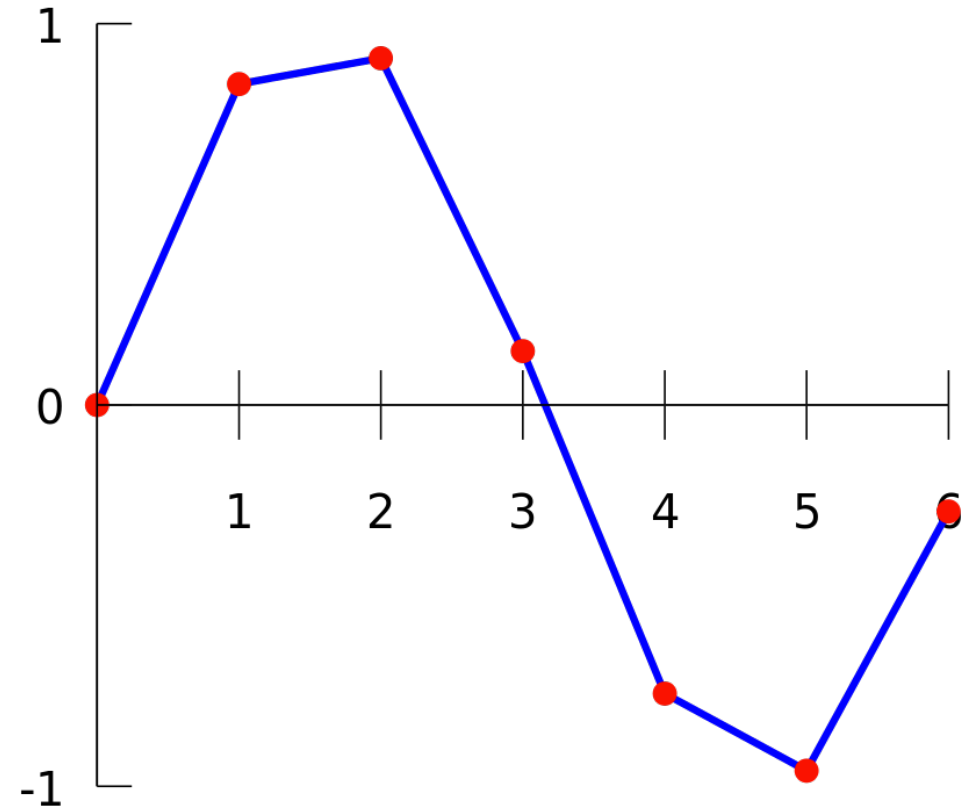
- Aussi appelée « le plus proche voisin»
- Très simple
- Mais discontinue



L'INTERPOLATION LINÉAIRE

- Dessiner une ligne entre chaque paire de points consécutifs

$$\bullet f(x) = \begin{cases} a_1x + b_1, & \text{if } x_0 \leq x < x_1 \\ a_2x + b_2, & \text{if } x_1 \leq x < x_2 \\ a_3x + b_3, & \text{if } x_2 \leq x < x_3 \\ \dots & \dots \end{cases}$$

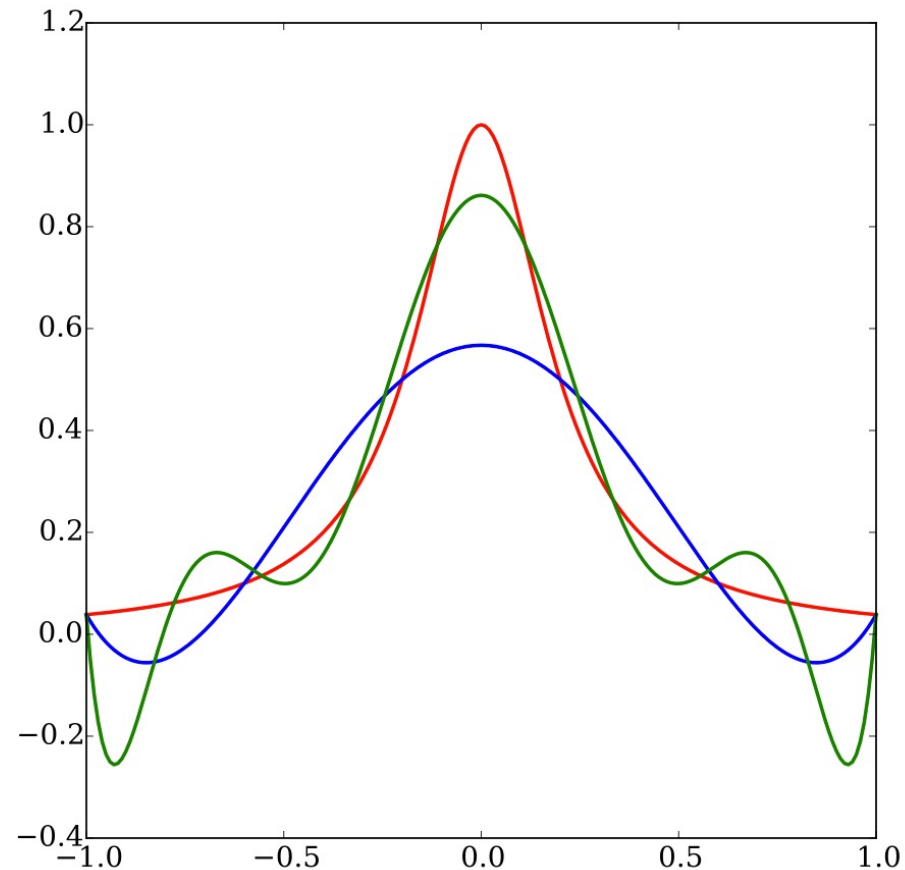


L'INTERPOLATION POLYNOMIALE

- Peut-on trouver une seule fonction qui passe par ces points?
- Oui:
- Pour $n+1$ points:
 - $f(x) = a_0 + a_1x + a_2x^2 + \dots + a_nx^n$
- Comment trouver a_i ?
 - $f(x_i) = y_i$
 - $n + 1$ points, $n + 1$ inconnues

PHÉNOMÈNE DE RUNGE

Si le degré du polynôme est plus élevé, la fonction devient ondulée



La fonction qu'on interpole

Le polynôme de degré 5

Le polynôme de degré 9

LES SPLINES

- On limite le degré du polynôme à quelque chose petit, e.g. 3
- Utiliser les fonctions par morceaux
- On peut rendre la fonction lisse

$$f_X(x) = \begin{cases} \frac{1}{4}(x+2)^3 & -2 \leq x \leq -1 \\ \frac{1}{4}(3|x|^3 - 6x^2 + 4) & -1 \leq x \leq 1 \\ \frac{1}{4}(2-x)^3 & 1 \leq x \leq 2 \end{cases}$$

LA BASE CUBIQUE HERMITE

- Les coefficients ont une signification géométrique
 - 2 positions + 2 tangentes

- Les exigences:
$$\begin{cases} C(0) = P_0 \\ C(1) = P_1 \\ C'(0) = T_0 \\ C'(1) = T_1 \end{cases}$$

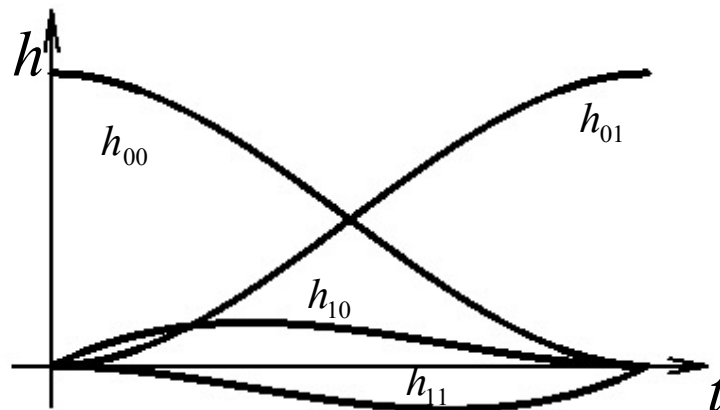
- Définir une fonction de base par contrainte:

$$C(t) = P_0 h_{00}(t) + P_1 h_{01}(t) + T_0 h_{10}(t) + T_1 h_{11}(t)$$

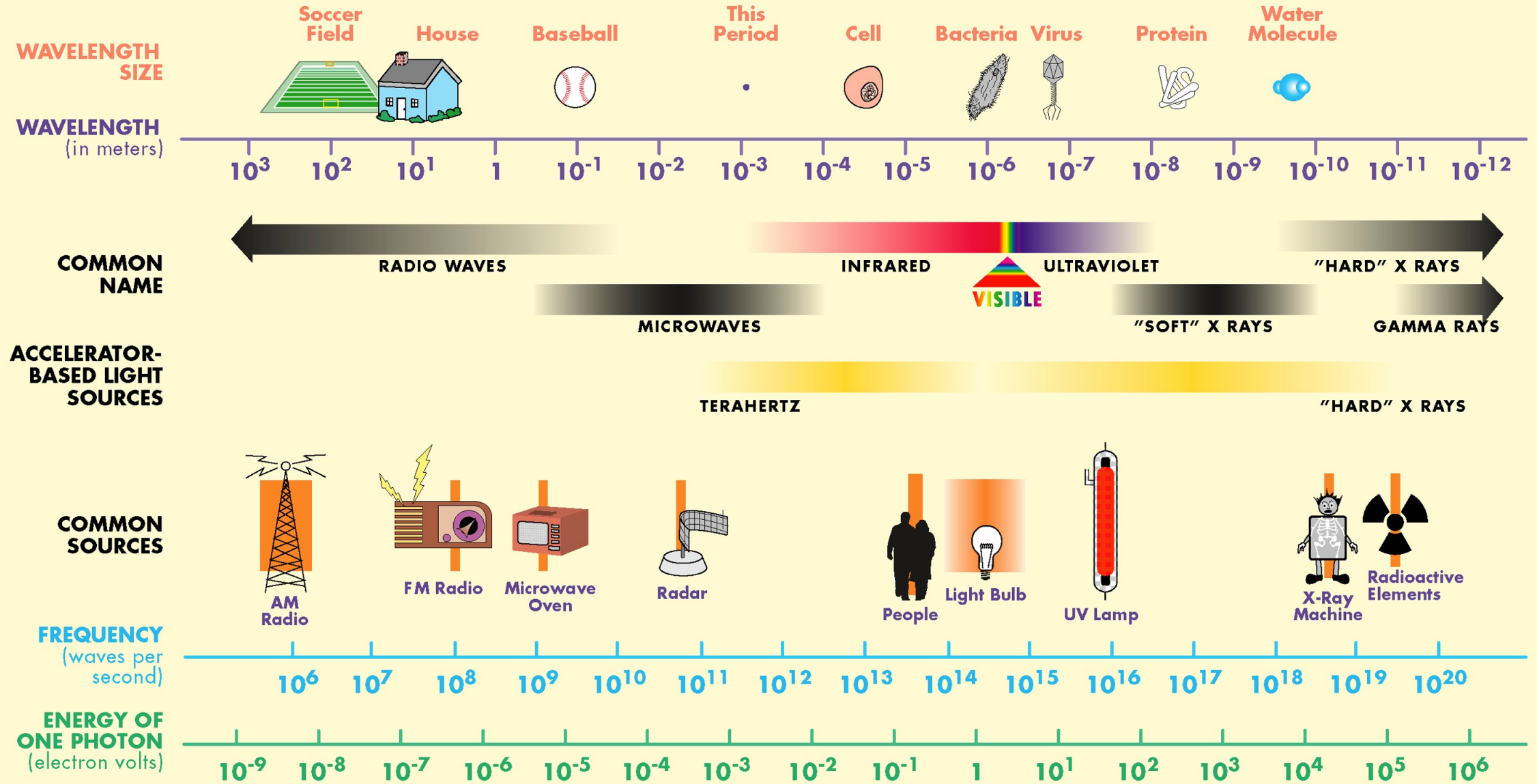
LA BASE CUBIQUE HERMITE

Les quatre polynômes qui satisfont les contraintes

$$\begin{aligned} h_{00}(t) &= t^2(2t - 3) + 1 & h_{01}(t) &= -t^2(2t - 3) \\ h_{10}(t) &= t(t - 1)^2 & h_{11}(t) &= t^2(t - 1) \end{aligned}$$

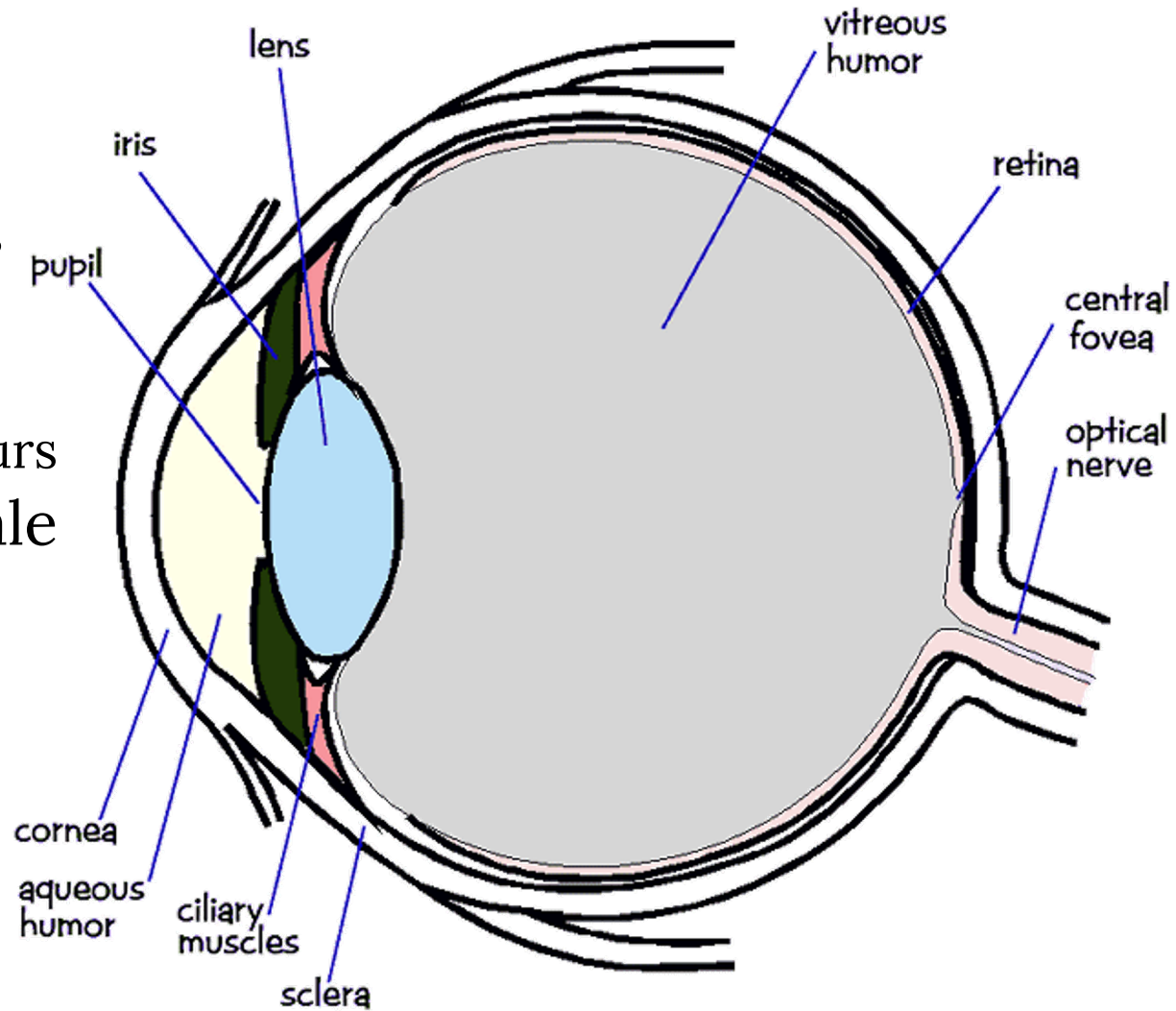


THE ELECTROMAGNETIC SPECTRUM



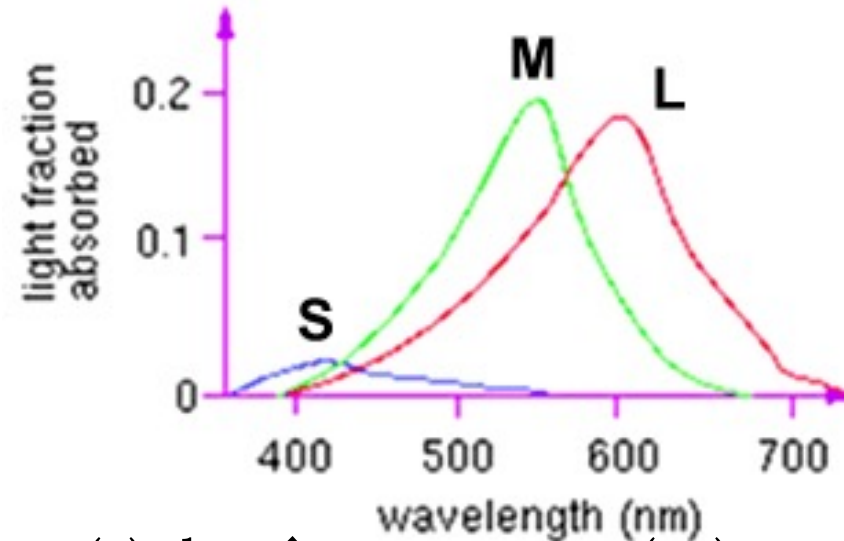
LA PHYSIOLOGIE DE LA VISION

- La rétine
 - Les bâtonnets
 - Nuances de gris, bords
 - Les cônes
 - 3 types
 - Les senseurs de couleurs
 - Une distribution inégale
 - La fovéa est dense



LA TRICHROMIE

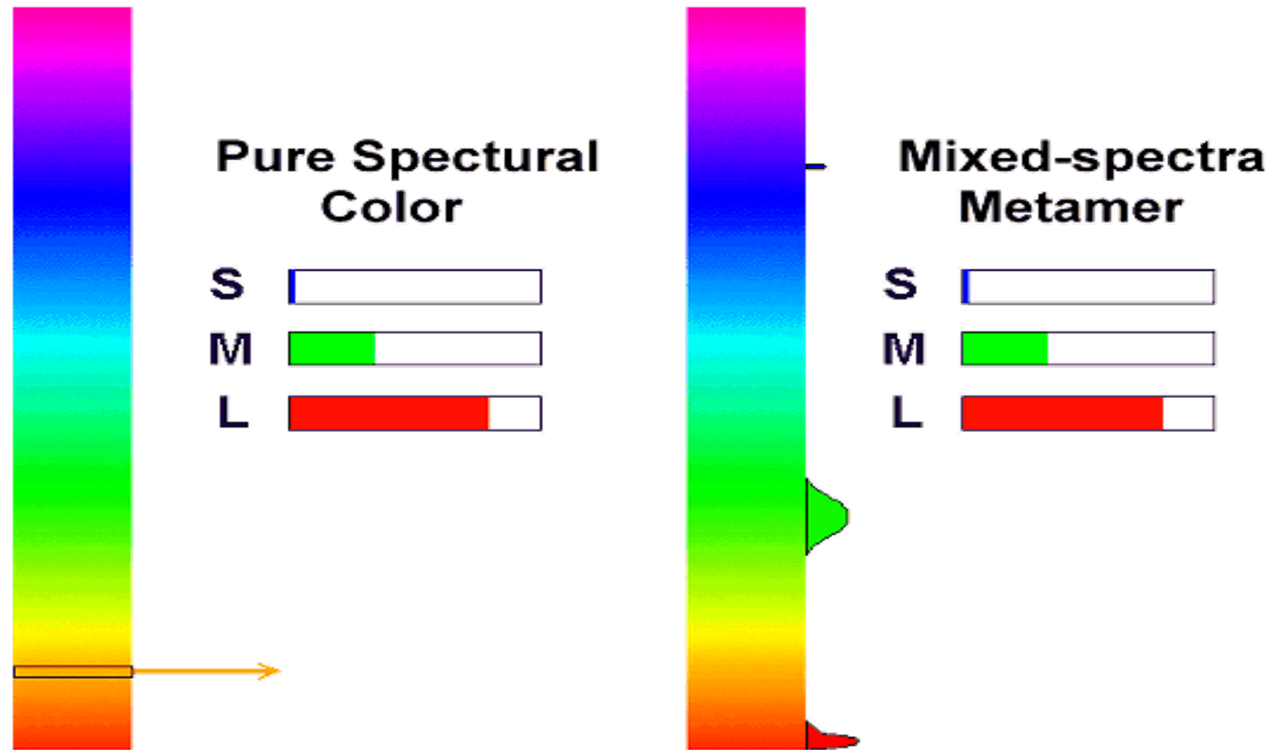
- Trois types de cônes
 - L ou R, plus sensible à la lumière rouge (610 nm)
 - M ou G, plus sensible à la lumière verte (560 nm)
 - S ou B, plus sensible à la lumière bleue (430 nm)



- Le daltonisme = type(s) de cônes manque(nt)

METAMERS

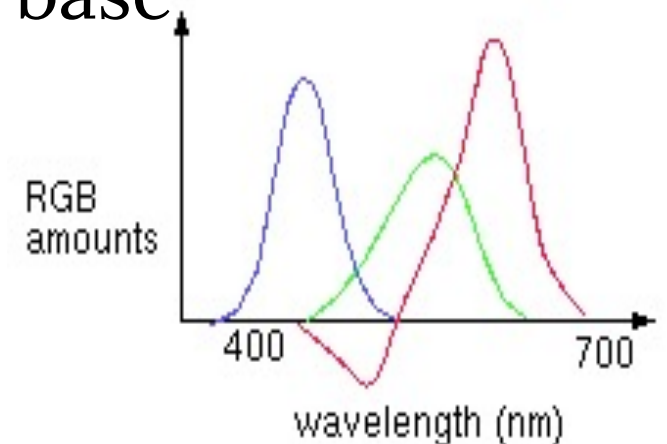
- La couleur qu'on voit dérive d'une combinaison de stimuli de chaque type de cônes



- La même couleur peut être causée par des spectres différents
- démo

LOBES NÉGATIFS

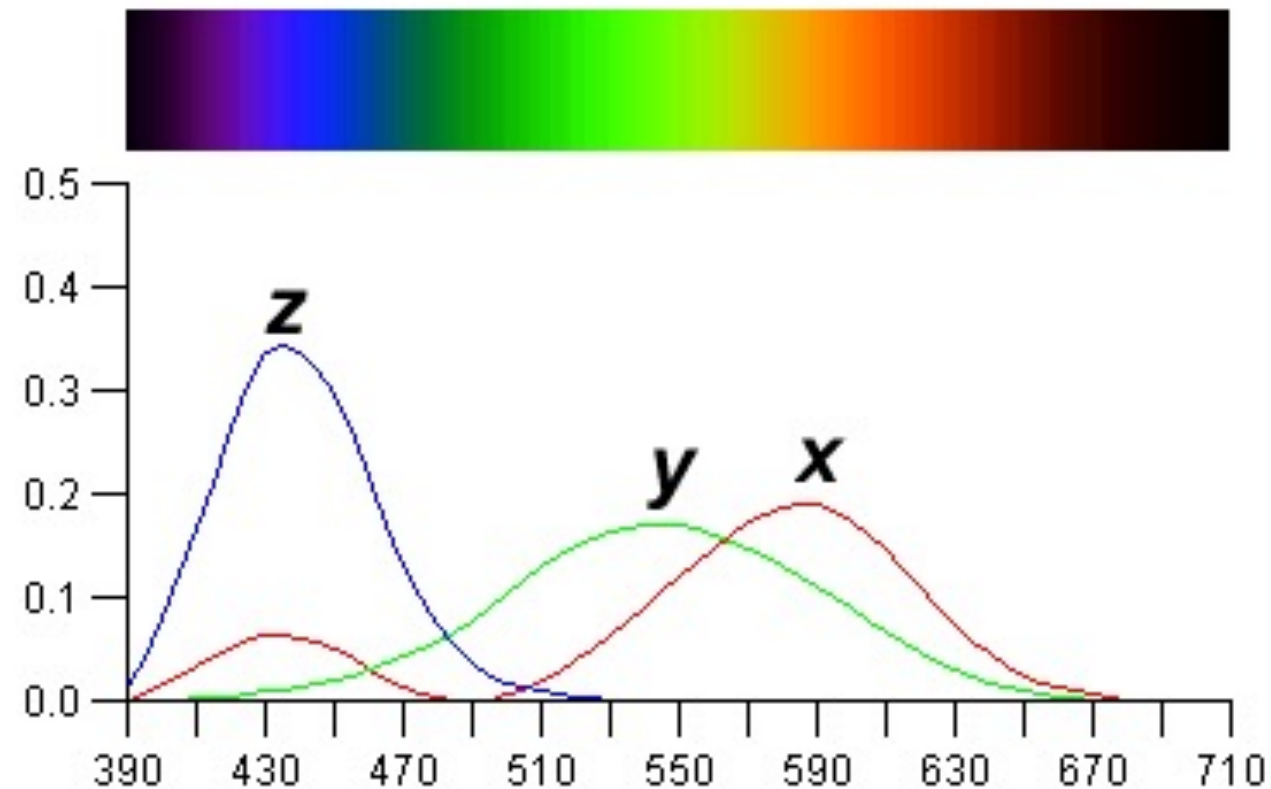
- Parfois les trois composants ne pouvaient pas correspondre parfaitement!
 - Souvent RVB a produit « trop de rouge »
 - Mais ce n'est pas possible de retirer le rouge d'un écran
- Donc, on ne peut pas générer toutes les couleurs avec n'importe quelles couleurs de base (primaires)
- La solution: choisir de nouvelles couleurs de base (synthétiques)



L'ESPACE DE COULEUR CIE

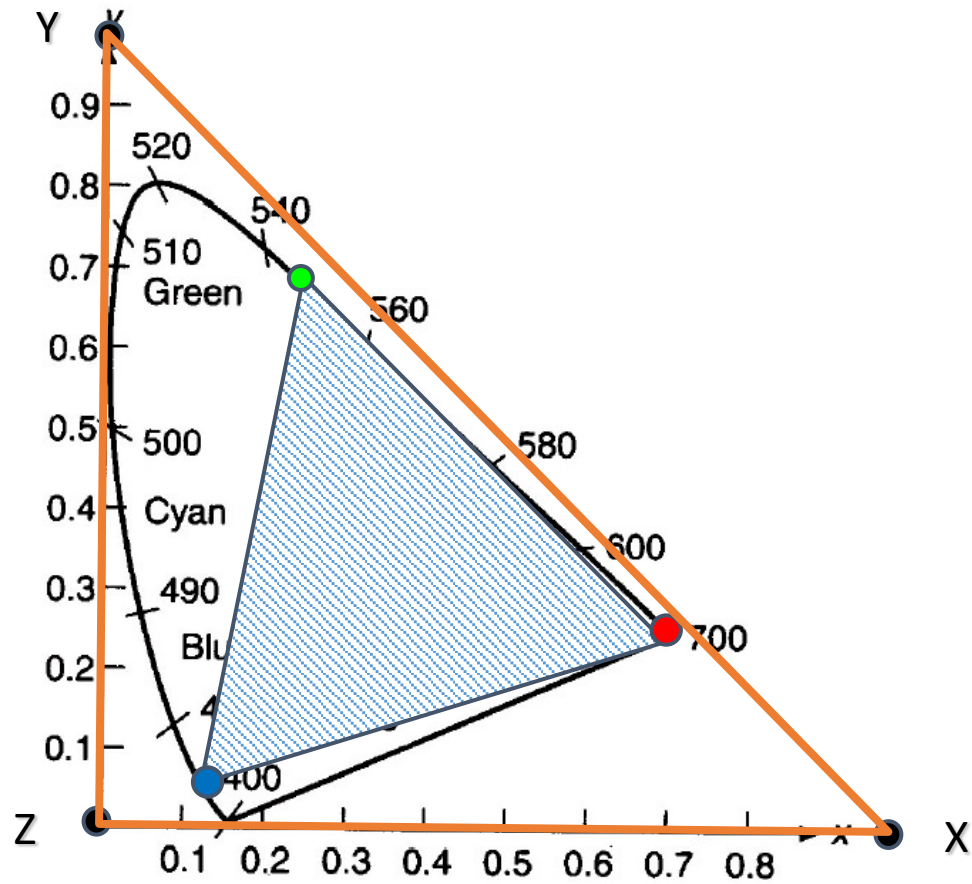
- CIE a défini 3 lumières X, Y, Z imaginaires
 - Toutes les longueurs d'onde λ peuvent être construites par une combinaison positive
 - Les fonctions de base!

NB:
 $X \sim R$
 $Y \sim G$
 $Z \sim B$



RGB VS XYZ UNE AUTRE FOIS

Une autre explication pourquoi la courbe R parfois doit être négative



L'INTERPOLATION

LES COULEURS COMPLÉMENTAIRES

LA LONGUEUR D'ONDE DOMINANTE

